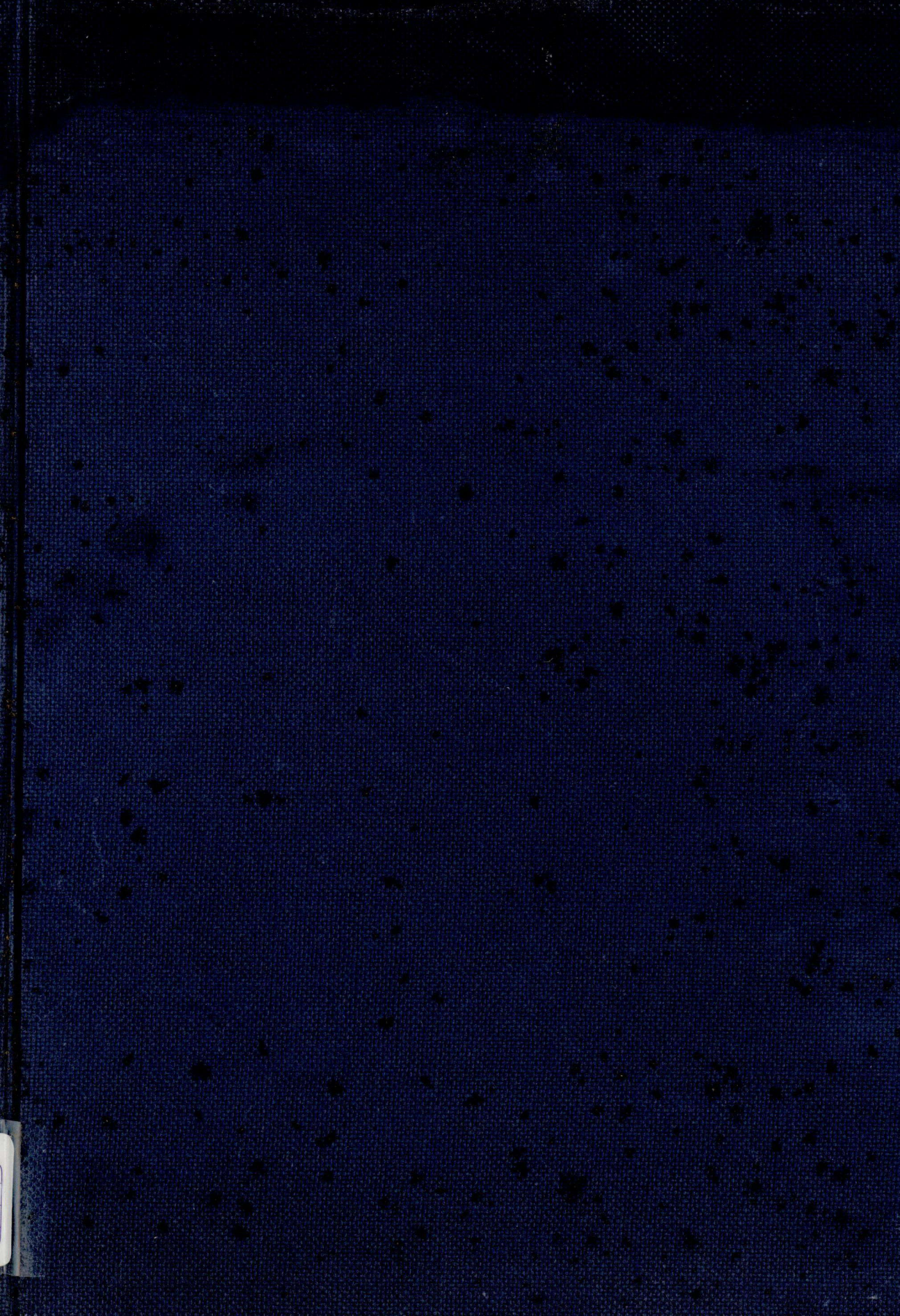


Title	ウランおよびトリウムのちっ化物、炭ちっ化物の加水分解に関する研究
Author(s)	杉原, 淳
Citation	大阪大学, 1971, 博士論文
Version Type	VoR
URL	https://hdl.handle.net/11094/27717
rights	
Note	

Osaka University Knowledge Archive : OUKA

<https://ir.library.osaka-u.ac.jp/>

Osaka University



I
16
2185

ウランおよびトリウムのちっ化物,
炭ちっ化物の加水分解に関する研究

杉 原 淳

ウランおよびトリウムのちっ化物,
炭ちっ化物の加水分解に関する研究

杉 原 淳

ウランおよびトリウムのちっ化物，炭ちっ化物の加水分解に関する研究

目 次

緒 言	1
第1章 一ちっ化ウランおよび三二ちっ化ウランの水蒸気による加水分解	3
1-1 試料	3
1-2 実験装置	3
1-3 生成ガスの分析	4
1-4 実験方法	6
1-4-1 水蒸気による加水分解	6
1-4-2 熱分解	6
1-4-3 N_2 ガス中での水蒸気による加水分解	6
1-5 実験結果と考察	6
1-5-1 UNの加水分解	6
1-5-2 加水分解後の熱分解	8
1-5-3 N_2 ガス中での加水分解とその後の熱分解	9
1-5-4 U_2N_3 の加水分解	12
1-6 総括	15
第2章 炭ちっ化ウランの水蒸気による加水分解	17
2-1 $UC_{1-x}N_x$ の生成	17
2-2 アミンの分析	17
2-2-1 ペーパークロマトグラフィ法	17
2-2-2 通電ペーパークロマトグラフィ法	19
2-3 実験方法	20
2-4 実験結果と考察	20
2-4-1 $UC_{1-x}N_x$ の加水分解	20
2-4-2 (UC + UN) 混合物の加水分解	26
2-5 総括	28
第3章 一ちっ化トリウムの水蒸気による加水分解	29

3-1	ThNの生成	29
3-2	実験方法	31
3-3	実験結果と考察	31
3-3-1	ThNの加水分解	31
3-3-2	N ₂ ガス中での加水分解	32
3-4	総括	33
第4章	炭ちっ化トリウムの水蒸気による加水分解	34
4-1	ThC _{1-x} N _x の生成	34
4-2	実験方法	34
4-3	実験結果と考察	34
4-4	総括	40
第5章	ThN, Th ₂ N ₂ O, Th ₃ N ₄ , Th(C, N)の水中での加水分解	42
5-1	Th ₂ N ₂ O, Th ₃ N ₄ の生成	42
5-2	実験装置および方法	42
5-3	実験結果と考察	44
5-4	総括	51
第6章	r線照射下での加水分解	52
6-1	序節	52
6-2	実験方法	52
6-3	実験結果と考察	53
6-4	総括	55
第7章	考察	56
7-1	反応性	56
7-2	固体生成物と結晶構造	58
7-3	気体生成物と結晶構造	60
7-4	総括	65
	総括	66
	発表論文および学会講演	69
	参考文献	70

緒言

原子力発電の重要性が増すにつれて核燃料サイクルに対する重要性も増してきている。核燃料サイクルは概略的に述べると、ウラン資源—ウラン濃縮—転換加工—燃料の製造—再処理ということになるが、それぞれの領域における研究、開発の状況は国によって異なっているであろう。我国においても、サイクルの国産化はむろんのこと、サイクルの各領域で、技術的にも経済的にも、それぞれ困難な問題が多々ある。さらに、サイクルの研究、開発も重要であるが、それと平行して当然、炉の型や核燃料そのものについても開発が進められなければならない。

いわゆる在来型炉である加圧水型炉や沸とう軽水型炉などは急速に産業化されつつあり、その燃料も UO_2 に定着した感がある。しかしながら、我国では初期装荷および取換燃料を合計すると、天然ウラン換算で1980年までに約4万トンまた、1985年までに累積で約10万トンにもおよび、世界のウラン需要はこれの数倍にもなるので、世界的に既知のウラン資源からみて重大な事態になる。このような核燃料の今後の需要の増大は必至であるので、高速増殖炉の研究、開発も急速に進められている。

現在、世界において開発されつつある高速実験炉ないしは、原型炉の燃料としては、ほとんど $UO_2 - PuO_2$ 混合系が採用もしくは予定されている。ところでトリウムについては ^{233}U の親物質であるThが注目されてから、すでに久しいが、開発および利用が技術的に困難なこともあって ^{235}U と ^{239}Pu とに目が向けられているのが現状である。しかし資源論からいくと、ウランにくらべてトリウムの埋蔵量の方が多いといわれている位であり、現在ある原子炉の燃料サイクルにトリウムが組み入れられれば、ウランの所要量は節約できることになる。今、米国や西独で開発されつつある高温ガス炉や熔融塩炉の燃料に関しては、 ^{235}U や ^{239}Pu らに比べて良好な性質をもっているので、将来性の高い核燃料としてTh- ^{233}U 系が検討されている。

ところで新しい核燃料が開発されるに際して、次の様な諸性質についての検討が望まれる。すなわち、熱力学的性質（高温での挙動）、化学的性質（反応性）、機械的性質、照射挙動、炉特性（中性子経済など）、加工技術などの点である。しかし実際には、これらすべての条件を満足するものは、おそらく存在しないであろう。たとえば、高速炉の核燃料としては酸化物よりも炭化物あるいはちっ化物がすぐれている。それは酸化物よりも炭化物やちっ化物の方が密度が高く、熱伝導性もすぐれており、増殖性がよいからである。しかし、一方炭化物は不銹鋼を炭化するなどの欠点がある。また、ちっ化物は熱伝導率が炭化物と同等もしくはそれ以上で、金属密度もより高いし、被服管との両立性もすぐれているが、一方高速中性子を吸収して H_2 や He ガスを発

生し、照射挙動に悪影響をおよぼす。

本研究においては、上に挙げた性質の中、化学的性質（主に反応性）に限り、さらに化合物燃料の中でも、ウランやトリウムの炭化物、ちっ化物などに焦点を絞って検討した。ウランやトリウムは炭素やちっ素など非金属元素と岩塩型の化合物をつくり、金属に似た高い伝導性を示し、いわゆる超硬耐熱性物質といわれているものとよく似ているが、一方では水に対して一般的に不安定である（salt like）。したがって、反応性の点から、これら化合物の化学的性質を追求するのは興味がある。また、取扱い上における雰囲気との反応性や原子炉冷却材との反応性は安全性の点からも重要な問題である。とくにUCはきわめて酸化されやすく、酸素が炭素と置換することによって相関係や諸性質が大きな影響を受ける。そこで、UCの酸化性を改良する方向でUC-UN系^{(1)(β)}や、U-C-O-N系⁽²⁾などの研究もなされている。さらに、化合物燃料と水や水蒸気との反応は別な点からも興味があると考えられ、とくに炭化物燃料についてこの方面の研究が今までにも報告されている。⁽³⁾⁽⁴⁾⁽¹⁰⁾たとえば、UCとUC₂との加水分解による生成ガスの差は結晶構造の差によるものと考えられている。すなわち、炭素数が偶数個の炭化水素およびそれらの結合したワックス様のものがUC₂の加水分解でできやすいのはUC₂ではC-C結合様式が二重結合（1.34 Å）に近いためであると考えられている。一方、ウランやトリウムのちっ化物や炭ちっ化物については、このような反応の面からの研究はあまりなされていない。しかし、これら化合物の化学的性質について理解することは実際に有効な核燃料を見出すための一つのポイントになり、また実際に取扱う上にも、水や水蒸気との反応のような基礎的な知識を得ることが必要である。本研究の意義もこの点にある。ここでは研究の対象としてウラン関係はUN、U₂N₃（立方晶）、固溶体UC-UNなどを選び、トリウム関係はThN、Th₂N₃（菱面体晶）、Th₂N₂O（立方晶）、固溶体ThC-ThNなどを選び、これら化合物と水、水蒸気との反応性を追求し、また加水分解反応に対する放射線の影響をも検討することにした。実験の進め方として、反応生成物の種類、その量、反応温度などをしらべ、化合物の結合性や加水分解反応の機構についても考察した。

ところで、満たされていないd軌道をもっている遷移金属化合物については、金属-非金属の結合が強い方向性をもっていることから、セラミック特性が説明され、また結合の共鳴性から輸送現象が説明されている。したがって、一般的にこのような化合物の物理的性質、たとえばもろさ、融点、電気的性質は広い意味で結合性と関連している。そこで、満たされていないdやf軌道をもっているアクチニド（Th、UPuなど）の化合物においても同様に結合性をしらべることが重要であり、この意味からも加水分解反応をこれら化合物の結合性と関連して今後、考察されることが望まれる。

第1章 一ちっ化ウランおよび三二ちっ化ウランの水蒸気による 加水分解

1-1 試料

UNは岩塩型面心立方格子を持つ化合物であって高温においては、わずかに組成幅を持つが、低温ではほとんど $UN_{1.0}$ であり、⁽⁵⁾⁽⁶⁾ その格子定数は $4.890 \pm 0.002 \text{ \AA}$ である。⁽⁷⁾ これ以外のウランちっ素化合物は U_2N_3 で、これには2つの構造が知られている。すなわち、低温相の α - U_2N_3 は Mn_2O_3 型の体心立方格子をもち、高温相の β - U_2N_3 は六方格子の構造をもっている。 β - U_2N_3 の存在領域は現在のところ明確でない。 α - U_2N_3 は非化学量論組成の化合物で、チッ素過剰の境界は今までのところ明らかでないが、Bertholdら⁽⁷⁾は1気圧のチッ素圧中で $UN_{1.75} \sim 1.76$ のものを発見している。なお以下単に U_2N_3 と書くときはすべて α - U_2N_3 を意味するものとする。

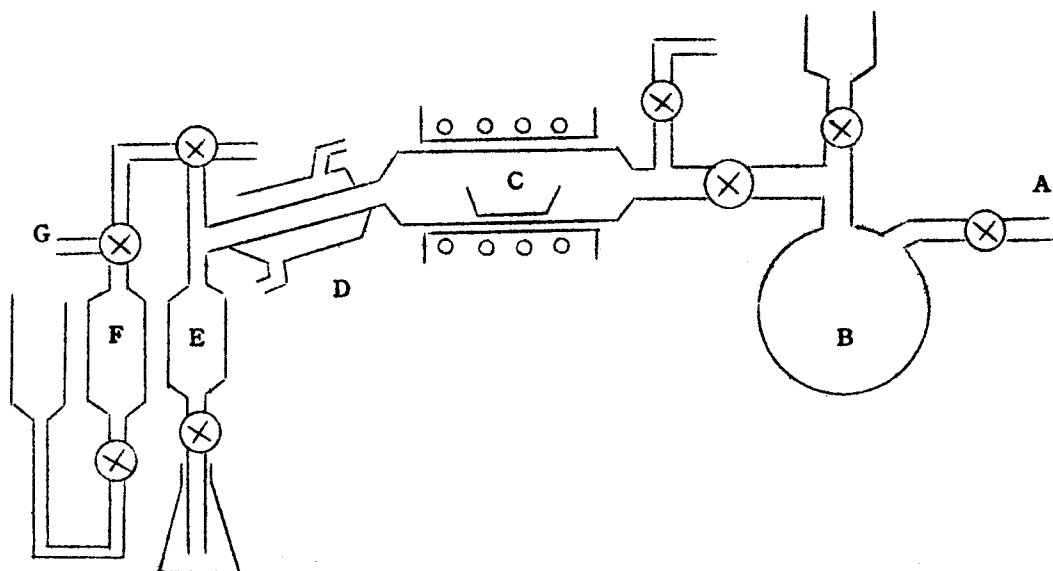
本実験で使用したUNは三菱金属製のもので不純物は酸素が1800ppm以下、また金属不純物は全部合わせて100ppm以下のものである。 U_2N_3 はこのUNを銅の網を通して精製したチッ素ガス(1気圧)中で、 800°C で約4時間加熱してつくった。ところで、Lapartら⁽⁸⁾のU-N系の熱力学的研究に見られるように、 U_2N_3 はUNとちっ素ガスとの反応で容易につくることができるが、 U_2N_3 は化学量論的ではなく、過剰のちっ素を含んだ U_2N_{3+x} という組成をもつものである。たとえば、Counsellら⁽⁹⁾はUNを N_2 ガスを流しながら、 1080°C で加熱した後、真空中で 970°C に加熱して $UN_{1.62}$ を得た。また、Bertholdら⁽⁷⁾は $UN_{1.74}$ のものを H_2 ガス中、 800°C で2時間加熱して $UN_{1.62}$ を得ている。本実験においてつくった U_2N_3 はX線回折により格子定数をもとめると、 10.650 \AA であった。これはBertholdらの報告にあるN/Uと格子定数との関係に照して組成をもとめると $UN_{1.62}$ に相当した。

1-2 実験装置

加水分解の実験装置図を第1図に示した。すなわち、あらかじめ脱ガスしたB中の水蒸気をAからのHeガスによって炉へ送り、反応後の水蒸気は冷却管Dで凝縮させ、溶液採集器Eに溜めた。したがって水溶性の生成物はここで捕集されることになる。一方気体生成物はHeガスと共に、一定量ずつFに集めて、ガスクロマトグラフGへ導いた。炉の温度は約 $5^\circ\text{C}/\text{分}$ の速度で上げた。なお、反応管および試料を入れたポートCはともに石英製のものであった。

また熱分解や N_2 ガス中での加水分解の実験(ともに後述)もほとんどこれと同じ装置を使用

した。



第1図 加水分解の装置

1-3 生成ガスの分析

ガス分析に使用したガスクロマトグラフは島津製のもので、検出器は熱伝導度検出器である(GC-2C型)。使用条件は以下のとおりである。

キャリアーガスと流速；He, 40 ml/分

カラムの長さと温度；2.25 m (内径3φ), 80°C

カラム充てん剤；シリカゲル(60~80メッシュ)

モレキュラーシーブ

(100~200メッシュ)

充てん剤は250°Cで活性化したものを使用した。また定性、定量に使用した標準ガスの種類を第1表に示した。

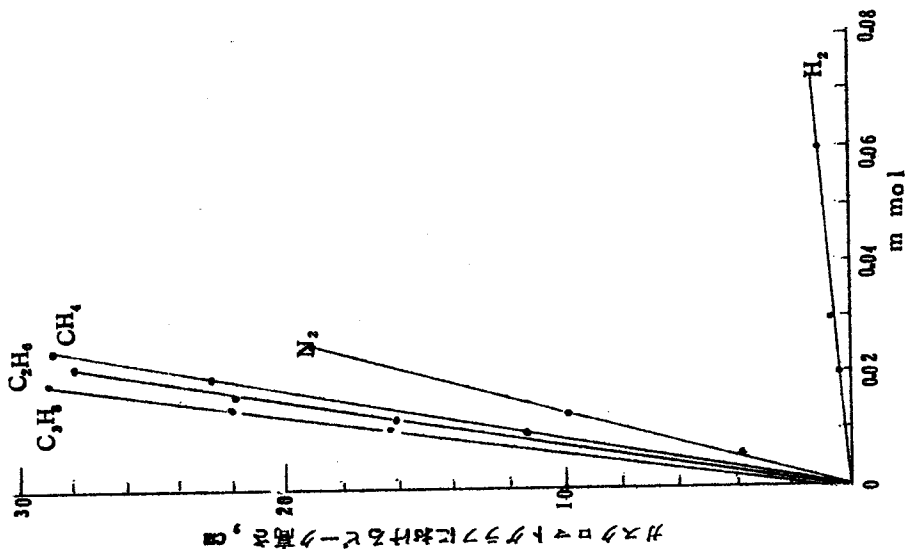
第1表 標準ガス

ボンベから	$H_2, O_2, N_2, C_2H_6, n-C_4H_{10}, i-C_4H_{10}$
ガラス容器 (1 l)	CH_4, C_2H_6, C_2H_4
化学反応により生成	$CO^{(a)}, CO_2^{(b)}, n-C_4H_{10}^{(c)}, i-C_4H_{10}^{(d)}$

- (a) 加温した濃硫酸にギ酸 (1~2 cc) を滴下する。
- (b) シュウ酸を約 200 °C で加熱する。
- (c) n-ブタノールの加温した濃硫酸による脱水反応。
- (d) i-ブタノールの脱水反応。

モレキュラーシーブでは、主に N_2 の分析を行ない、炭化水素の分析には、シリカゲルを使用した。各気体の確認は各標準気体についてガスクロマトグラフをとり、その保持時間をしらべることよって行なった⁽¹⁰⁾。

定量には各気体のピークの面積から求める方法があるが、本実験においては、生成ガスのピークが非常にシャープであったことと面積が小さい場合がしばしばあったことから、ピークの高さを求めこれを予め標準ガスにより求めた検量線 (第2図) によって補正して定量を行なった。



第2図 各気体の検量線

1-4 実験方法

本実験における加水分解は反応速度をもとめるのではなく反応生成物をしらべ、反応温度やどの様な反応が起るかなどをしらべることが目的であるから、一定温度ではなく昇温しながら反応させた。

1-4-1 水蒸気による加水分解

装置に関しては第2節に述べた。Eに溜めた水溶液を20 cc ずつ10分毎に取り、0.01 規定の塩酸で滴定してアンモニアを定量した。また、ヒドラジンの存在をしらべるため、液をp-ジメチルアミノベンズアルデヒドで発色させて、分光光度計により470 m μ における吸収をしらべた。一方気体生成物は水溶液の採集とできるだけ同時にFからGへ送り、これをガスクロマトグラフィーによって分析した。また、加水分解後の固体をしらべるためにX-線回折を行なった。

1-4-2 熱分解

もとの試料や加水分解後の試料などを水蒸気を流さずにHeガス中で昇温しながら加熱する(以後、単に熱分解という)ことによって発生する気体を分析し、また、熱分解後の粉末固体をX-線回折でしらべた。熱分解における装置や炉の昇温速度などは加水分解のときと同じであるが、反応管を予め空焼きし、また、Heガスをシリカゲルに通して反応管へ導き、水や水蒸気などが系の中にできるだけ存在しないようにした。

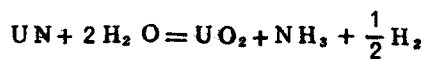
1-4-3 N₂ ガス中での加水分解

1-4-1ではキャリアーガスとしてHeガスを使ったが、ここではN₂ガスがその役割をし、水蒸気との混合状態で加水分解反応を行った。この場合は発生する気体よりも溶液中のNH₃や加水分解後の固体の分析に重点をおいた。

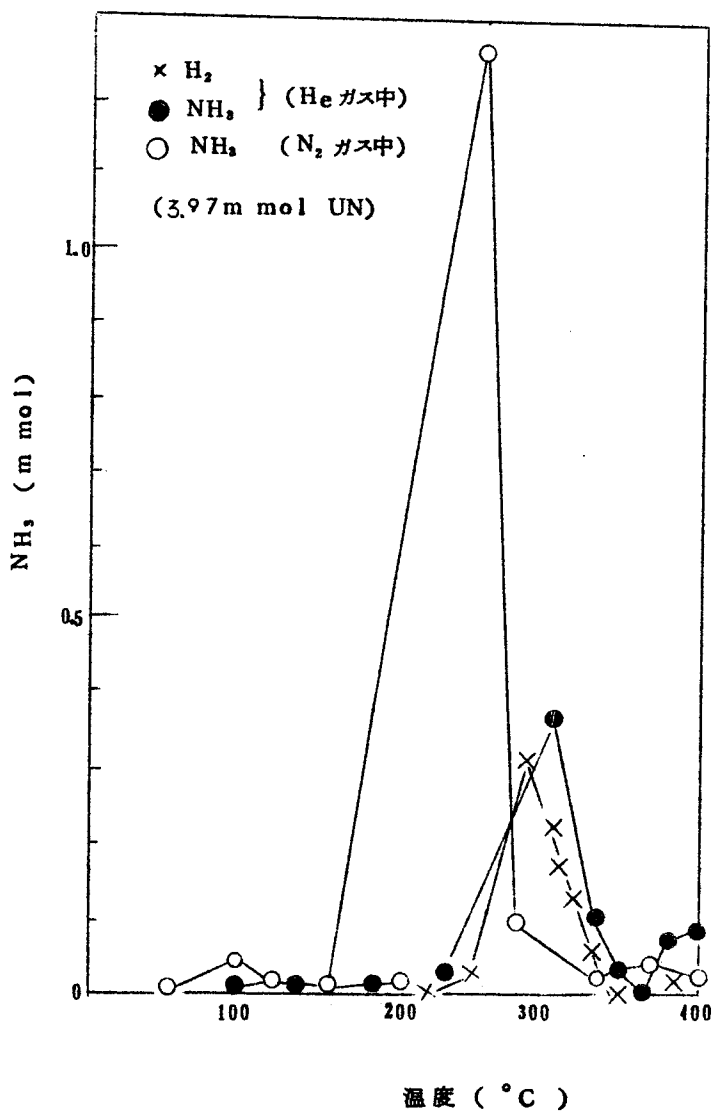
1-5 実験結果と考察

1-5-1 UNの加水分解

UNと水蒸気との反応による気体生成物および溶液中の生成物を室温から400°Cの温度範囲においてしらべた。その結果を第3図と第2表とに示した。反応生成物は気体としては主にH₂で、400°C近くでわずかにN₂の発生が認められた。溶液中にはNH₃のみでN₂H₄は認められなかった。一方反応後の固体はX-線回折によれば、その回折線は幅広く、UO_{2+x}とU₂N_{3+y}との混合物であった。また、UNによる回折線は認められなかった。これらの結果からUNの加水分解の反応式は先ず次のように考えられる。



また部分的に



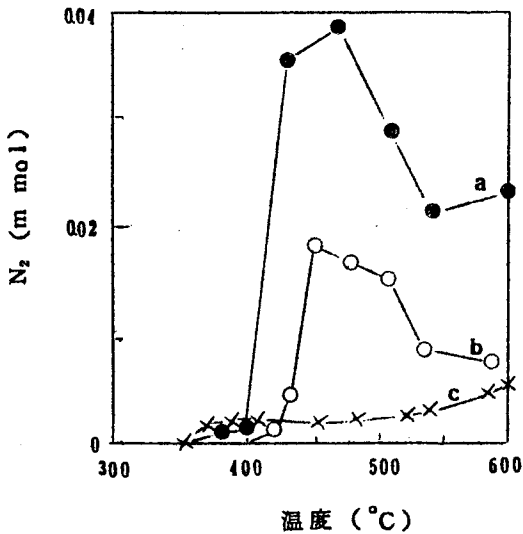
第3図 UNの加水分解

第2表 UNの加水分解生成物と加水分解後の固体の熱分解による生成物

反 応	N ₂	NH ₃	H ₂
	分解前の試料中の全ちっ素 量に対する割合, %		(m mol/g)
加水分解 (UN+H ₂ O)	0.15	2.1	0.97
反応 (UN+H ₂ O) 後の 固体の熱分解	10.5	0	0
加水分解 (UN+H ₂ O+N ₂)	—	39.4	—
反応 (UN+H ₂ O+N ₂) 後 の固体の熱分解	6.7	0	0

1-5-2 加水分解後の熱分解

加水分解を400℃まで行なった固体をHeガスだけの雰囲気中で600℃まで加熱して熱分解させた。その結果を第2表と第4図に示した。これから明らかなように、かなりのN₂



第4図 次の固体の熱分解によるN₂の生成
 a : 3.19 m mol UN+H₂Oからの固体
 b : 3.19 m mol UN+H₂O+N₂からの固体
 c : 3.82 m mol U₂N₃

が発生し、 NH_3 、 H_2 、 O_2 などは発生しなかった。また、熱分解後の固体のX-線回折図には、 UO_2 と U_2N_3 とが認められ、その格子定数はそれぞれ、 5.460Å と 10.650Å であった。加水分解後の固体を定量的に $\text{UO}_{2+x}(\text{N})$ と U_2N_{3+y} に分別することは困難であるから、化学分析からこれらの組成を厳密に決定することはできなかった。また UO_{2+x} の正確な x の値を格子定数から得ることはできないが、 5.460Å という値からこの酸化物が化学量論的でないことは明らかである。なお化学量論的な UO_2 の格子定数は 5.470Å である⁽⁸⁾。このようにして加水分解によって完全に UO_2 になるまでに、固体生成物が一たんちっ素を吸収し、しかもそれが高温で N_2 を放出しやすい状態にあることが熱分解によって明らかになった。

以上のように、UNの加水分解では高次ちっ化物が形成されることがほぼ確かになったが、このようなちっ素のとり込みをもう少し詳しくしらべるために、Heガスの代わりに N_2 ガスを流しながら加水分解を行なった。その結果について次に記した。

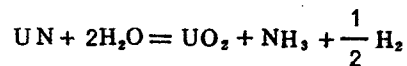
1-5-3 N_2 ガス中での加水分解とその後の熱分解

この実験において生成した NH_3 の量の温度変化を第3図に示し、同時に先述したHe雰囲気での加水分解の場合と比較した。これから明らかなように N_2 雰囲気では、 NH_3 が生成されやすく、第2表にも示したようにHe雰囲気の場合の2倍近く生成した。これに関するもう少し詳しい考察は後述する。この実験での固体生成物はX-線回折によると主に UO_{2+x} であり、わずかに U_2N_{3+y} も認められた。

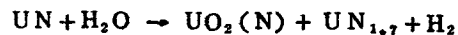
次に1-5-2と同じように、 400°C まで加水分解を行なった試料を熱分解すると、 N_2 の発生が認められた。むしろ NH_3 、 H_2 、 O_2 などは生成しなかった(第4図b)。一方 400°C までの加水分解でできた U_2N_{3+y} の格子定数は 10.650Å から熱分解後に 10.657Å にわずかに変化した。この変化はBertholdら⁽⁷⁾が報告している組成と格子定数との関係から考えると N/U で 0.022 に相当した。この組成変化に対応する N_2 の発生量を計算すると約1%であった。ここでUNからつくった試料である粉末の U_2N_3 ($\text{N}/\text{U}=1.68$)を上記のように室温から 600°C までで熱分解したところ、第4図cに示したように 400°C 付近から N_2 の発生が認められた。この N_2 量はもとの $\text{UN}_{1.68}$ 中のちっ素の1.1%であった。この場合も格子定数は熱分解の前後で 10.650Å から 10.657Å へ変化した。ところが第4図からも明らかなように加水分解後の試料 U_2N_{3+y} の熱分解による N_2 の発生は上の U_2N_3 の熱分解のときよりはずっと多かった。すなわち第2表に示したように N_2 ガス中で加水分解した試料の熱分解では、はじめに含まれていたちっ素量の6.7%が発生し、またHe雰囲気中で加水分解した試料の場合は10.5%であった。このような N_2 の多量の発生は熱分解のと

きだけでなく、室温から600°Cまでつづけて加水分解した時に高温領域でも認められた。この多量のN₂の発生は単に高次ちっ化物が分解してN/Uが小さくなるということだけでは説明できない。多くのちっ素がU₂N_{3+y}以外の他の形で加水分解後の固体生成物中に含まれていなければならない。それがどのような形で加水分解生成物中に含まれているかは明白ではないが、一つの可能性として、ちっ素はUO₂の格子の中に含まれているのではないかと考えられる。最近Della⁽ⁱⁱ⁾はUNの酸化の際に発生したちっ素はUO₂の格子に溶け込み、UNの酸化の最終生成物がUO₂N_xであると推測している。

以上の点からUNの加水分解や熱分解の機構はさらに詳しくは次のように表わすことができるであろう。



また一部、次のような反応もおこっている。



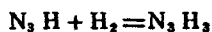
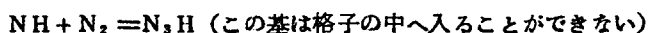
また熱分解に対しては



450°C以上のNH₃の増加はおそらく、400°C以下で生成したU₂N_{3+y}の加水分解によるものであろうと考えられる。なおU₂N₃の加水分解については1-5-4で述べる。

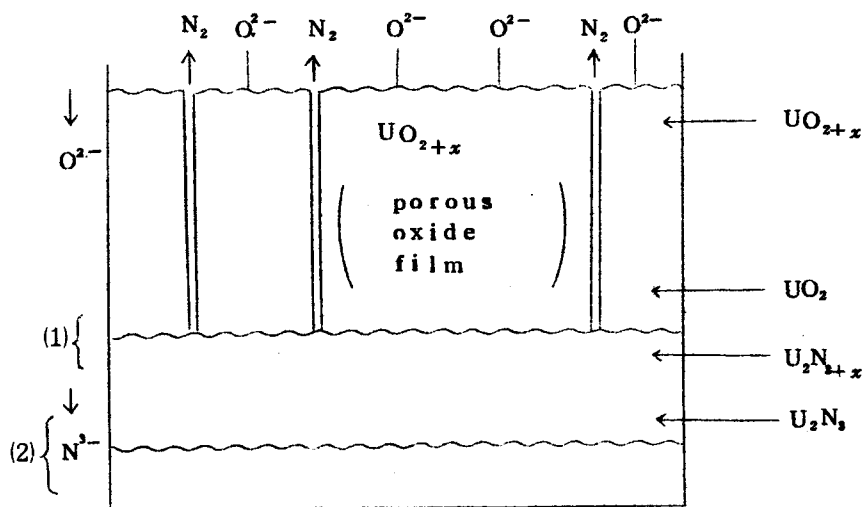
次に加水分解で生成したNH₃の量に注目すると興味ある事実が見られた。すなわち、N₂ガス中における加水分解ではNH₃生成量は39%で、Heガス中ではその値は21%であった(第2表)。このようにN₂ガスの存在によってNH₃の収量が増加した事実は後述するU₂N₃の加水分解においても認められた。一方熱分解によって発生したちっ素の量はN₂ガス中で加水分解した固体生成物の場合には、単にHeガス中で加水分解した固体生成物の場合よりも少なかった。すなわちN₂ガスの雰囲気は固体生成物中へのちっ素のとり込みを少なくし、NH₃の収量を大きくする効果があると考えられる。このようなN₂ガスの影響は次のように説明されるであろう。すなわち、UNは水蒸気によって酸化されてUO₂になりちっ素原子を放出する。このちっ素原子は水素と反応して、NHやNH₂などの遊離基をつくる。これらの遊離基がUO₂やUNなどの格子の中へ入ったり、あるいは水素と反応して他の遊離基をつくる。そこで、もしこれらの遊離基が格子の中へ入る前に、何らかの機構でN₂ガスの雰囲気のためにこわされるとするならば、N₂ガス中での加水分解によるNH₃の生成はHeガス中での加水分解のときよりも多くなると考えられる。このような妨害の機構は明らかではないが、

一つの可能性として次のような反応が考えられる。

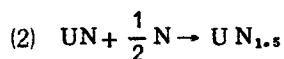
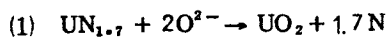


このようにして NH_3 を生成し、一方固体中への侵入が妨害されるのではないかと推測される。

ここでUNの酸化について言及すると、UNは O_2 との反応においても高次チッ化物を生成する。すなわち、酸化による生成物である原子状ちっ素が一部のUNと反応して U_2N_{3+x} を生成する。また $\text{N} + \text{N} \rightarrow \text{N}_2$ の反応もおこっており、気体として放出されることもある。このようにちっ素が固体の中へとり込まれるのはDellら⁽ⁱⁱ⁾によると、化学ポテンシャルの差の下に酸素が固体中へ拡散していくのでそれによってちっ素の固体からの放出が制限されるからである(第5図)。



第5図 UNの酸化の模式図⁽ⁱⁱ⁾

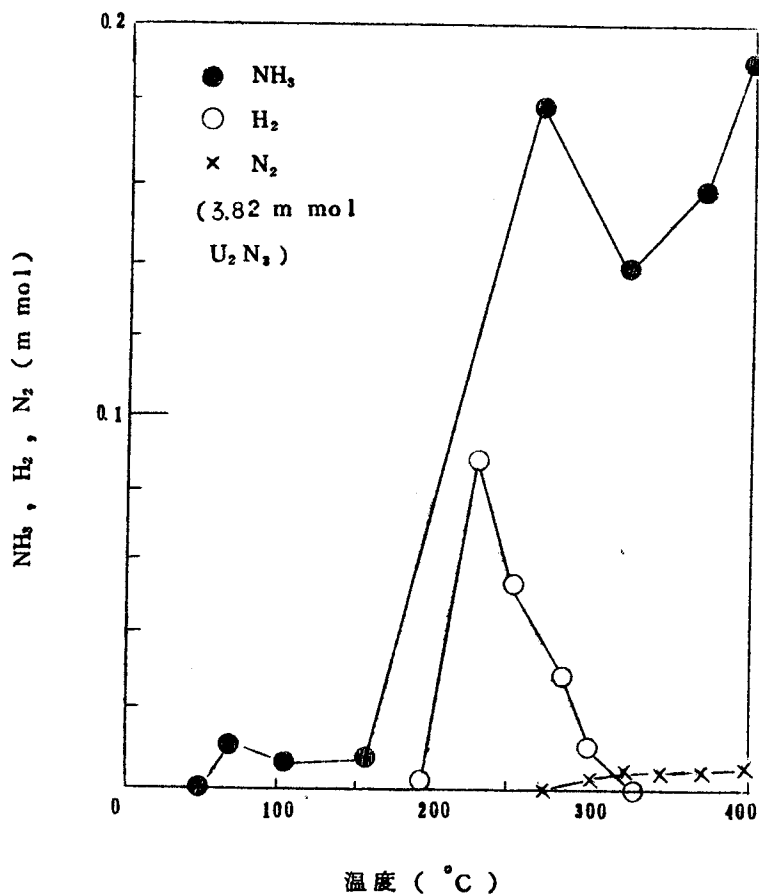


加水分解反応において固体生成物の様子は表面へ向って、 $\text{UN} \rightarrow \text{U}_2\text{N}_3 \rightarrow \text{UO}_2$ と概略的に書くことができるから、反応の機構は酸化と類似しているであろう。ただ、加水分解の場合は

H₂Oの解離的吸着がおこってOH⁻がUO₂層を通して、固体の中を移動するものと推測される。また金属ウランの水との反応機構についてもOH⁻やO₂⁻のような拡散の可能な基が固体の格子の中を動くことによってウランの酸化がおこるといわれている。

1-5-4 U₂N₃の加水分解

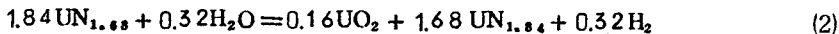
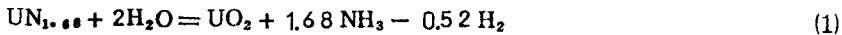
U₂N₃の加水分解の実験もUNの場合と同じようにして行なった。生成物であるNH₃、H₂、N₂の量が温度上昇と共に変化する様子を第6図に示した。H₂とN₂以外の気体生成物は認められなかった。また溶液についてもUNのときと同じように分析したが、N₂H₄は認められなかった。周知のようにヒドラジン(N₂H₄)はN-N結合をもっているが、これが生成しなかったことは少し意外なようにも思われる。なぜならば、UCのようにC-Cの対が存在しない



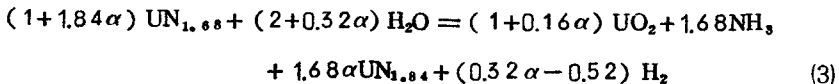
第6図 U₂N₃の加水分解

化合物でも加水分解に際して、エタン (C₂H₆) やエチレン (C₂H₄) などを生成するからである。これをもう少し具体的に考えてみると、UC中の最近接C-C結合距離は3.51 Åで、U₂N₃では最近接N-N距離は2.77 Åである。したがって、この点からみるとUCの加水分解でC-C結合やC=C結合をもった化合物が生成する以上に、U₂N₃ではN-N結合をもった化合物の生成が考えられる。ところが実際には、N₂H₄は生成しなかった。これはN₂H₄が約250°C以上では、かなり不安定であるからではないかと考えられる。

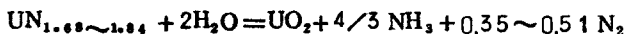
次に400°Cまでの加水分解後の粉末固体のX-線回折によると、ほとんどU₂N_{3+x}でその格子定数は1.0599 Åであった。ここでU₂N₃に対するN/U比と格子定数との関係がこの値まで外挿できるとすれば、上のU₂N_{3+x}の化合物におけるN/U比は1.84になる。したがって、約300°CまでのU₂N₃の加水分解は次のように考えられる。



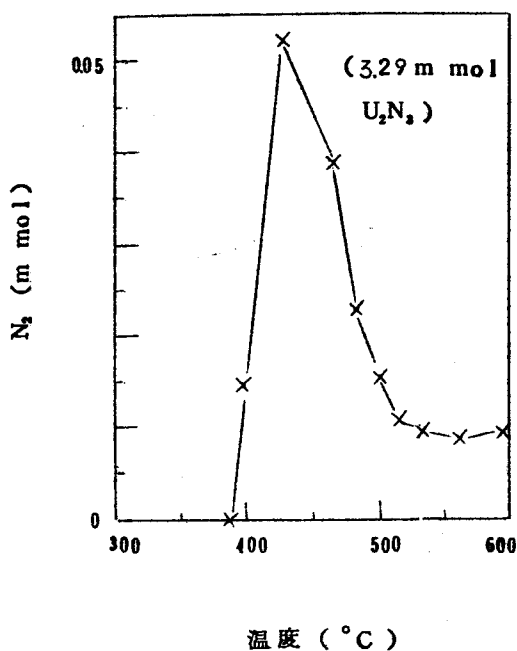
(1)に対して(2)がおこる比率を α とすると、



実験から300°C以下のNH₃の生成量は4.3%であったから、 α の値を $1.68 / \{1.68(1 + 1.84\alpha)\} = 0.043$ から求めると約1.2になる。したがって、(3)式のH₂の係数である(0.32 α - 0.52)の値は正になるから、N₂ではなくH₂が発生する。このことは300°C以下では加水分解によってH₂が発生した事実とよく一致する。一方300°C以上ではH₂は発生しなくなり、N₂が発生した。したがって、この時はおそらく、(3)のH₂の係数の符号は300°C以下の場合と逆になると推測される。このことから300°C以上では(1)の反応が優先的に起こっており、次のように表現するのが適当と考えられる。



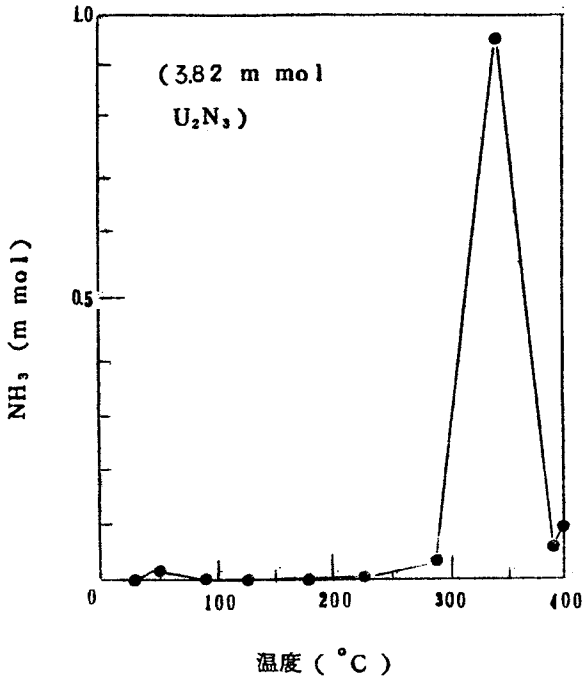
次にU₂N₃の場合についても、400°C以下で加水分解反応を行なった後の固体生成物をUNのときと同様に室温から600°Cまで昇温しながら熱分解した。その結果、第7図に示したように400°C位からN₂の多量の生成が認められた。この場合もNH₃やO₂は生成しなかったが、H₂がわずかに検出された。また、熱分解後の固体生成物はU₂N_{3+y} (a=10.640 Å)とUO_{2+x} (a=5.461 Å)とであった。両者の相対的な量を求めるために、あらかじめU₂N₃とUO₂とを各種の割合に混ぜた粉末についてX-線回折でそのピークの高さとモル比との関係を求めておき、それから生成物中のU₂N_{3+y}とUO_{2+x}との割合を求めたところ、U₂N_{3+y}/



第7図 U_2N_3 の加水分解後の固体の熱分解

$UO_{2+x} \approx 3:1$ であった。加水分解後にできた U_2N_{3+y} の格子定数 10.599 \AA は熱分解後に 10.640 \AA に変化した。この熱分解によって生成した N_2 の量は格子定数より求めた N/U の変化による計算値によれば約8%であった。この値は実測値の7.3%とよく一致している。

次に U_2N_3 の加水分解についても、 N_2 雰囲気で行なった。このときの NH_3 の生成量の温度変化を第8図に示した。すなわち、この場合の NH_3 の生成量は 400°C 以下ですでに18%に達した。これは第6図のHe雰囲気での加水分解の場合の12%よりも多かった。加水分解からの固体生成物は $UN_{1.84}$ ではなく、 UO_2 ($a=5.461 \text{ \AA}$)と $UN_{1.69}$ ($a=10.641 \text{ \AA}$)とであった。これは13頁で述べた熱分解後の固体生成物と同じである。 N_2 ガス中での加水分解後、 U_2N_{3+y} の格子定数と UO_2/U_2N_3 (モル比)とがHeガス中での加水分解による生成物をさらに熱分解した時のものとよく似ているところに興味深い点がある。これはおそらく雰囲気中の N_2 ガスの影響に因ると考えられる。すなわち、 N_2 ガスは加水分解における NH_3 の生成量を増加させるが、ちっ素原子やある種の基が結晶の格子の中へ入り込むことを妨げるであろう。一方熱分解は加水分解生成物の UO_2 や U_2N_3 の格子へ侵入したちっ素原子を追い出す効果を



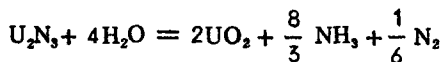
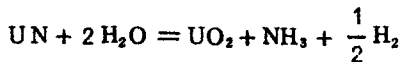
第8図 N₂ ガス中でのU₂N₃ の加水分解

する。したがって、N₂ ガス中で加水分解した後の生成物はHe ガス中で加水分解し、その後熱分解してできた生成物とほぼ同じものになったのではないかと考えられる。

1-6 総括

第1章ではUNとα-U₂N₃とについて、He ガス中での加水分解、400 °C 以下の加水分解後の試料の熱分解、さらにN₂ ガス中での加水分解などの実験を行なった結果を述べ、NH₃やN₂の生成量あるいは固体生成物のX-線回折によって求めた格子定数などの点から検討した。

加水分解はほぼ次の式であらわすことができる。



しかし実際には、ちっ素の固体中へのとり込みなどが起るため、この式からはずれていろいろ

の現象が現われた。すなわち、気体生成物はUN, U_2N_3 のどちらの場合も、主に H_2 であった。また、 U_2N_3 の場合は $300^\circ C$ 以上においてのみ H_2 の代りに N_2 が発生した。UNも U_2N_3 も $600^\circ C$ まで昇温するとは $UO_{2.1}$ に変化した。しかし $400^\circ C$ 以下では、UNの場合には $UO_2(N)$ や $UN_{1.7}$ などが生成しこれらからは熱分解によって N_2 が発生した。一方 U_2N_3 の場合は $UN_{1.4}$ が生成し、これが熱分解によって N_2 を放出して $UN_{1.7}$ へ変化した。

しかし、 N_2 ガス中での加水分解では、UN, U_2N_3 ともに、Heガス中での加水分解に比較して固体中へのちっ素の侵入は少なかった。たとえば U_2N_3 の場合は固体生成物は $UN_{1.7}$ であって、上記の熱分解の結果と同じであるのは興味がある。また N_2 ガス中での加水分解では、先の加水分解に比較してUNと U_2N_3 のどちらの場合にも NH_3 の増加が認められた。

ちっ化ウランの加水分解の特徴はUNまたは U_2N_3 などによってちっ素がとり込まれ、高次ちっ化物や含ちっ素酸化物などが生成されることである。さらに N_2 ガス中での加水分解において示されたように、雰囲気ガスとしての N_2 は固体によるちっ素のとり込みを妨げ、 NH_3 の生成量を増加させる効果をしていることが分った。

第2章 炭ちっ化ウランの水蒸気による加水分解

UCやUNは高い熱伝導度をもち、また密度もそれぞれ 12.97 と 13.53 g/cm^3 で UO_2 、UP、US などよりも高く、とくに高速炉用に有望であるが、化学的な安定性は後者の3つのものよりもいく分、低いようである。とくにUCはUNに比べて水などに対する反応性が大きく、また化学量論的組成をもつものをつくるのが難しい。そこでUCとUNとの固溶体をつくって、たがいの短所を補い、対酸化性や高温での安定性をよくすることが考えられる。このようなことから、U(C, N)については今までにも比較的よく研究されており、特に熱力学的な性質についてはよく報告されている⁽¹²⁾⁽¹³⁾⁽¹⁴⁾。しかし化学的な性質についてはあまり研究がなされていない。

この章において、加水分解反応の観点からU(C, N)の化学的性質をしらべた。

2-1 UC_{1-x}N_xの生成

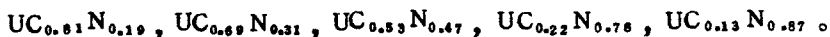
UCとUNとは全率固溶することはよく知られており、その製法も次の6つの方法が主なものである。

- 1) UN + C 2) UN + UC 3) UN + UH₃ + C
4) UC + N₂ 5) UO₂ + C + N₂ 6) UC + NH₃ (加圧)

本実験では、簡単で不純物なども入りにくいと考えられる1)の方法で製造した。

UN(三菱金属製、O₂ < 1800 ppm, 他金属の不純物100 ppm以下)と黒鉛のそれぞれの粉末をいろいろな成分比でArガス中において混合し、5トン/cm²の圧力でペレット(8φ, 3mm)をつくった。次にこれらのペレットを真空中で、6時間、1450°Cで加熱した。

固溶体UC_{1-x}N_xの組成と格子定数との間にはほぼVegardの法則が成り立つので⁽¹⁴⁾、X線回折により求めた格子定数からそれらの組成を決めた。加水分解に使用した試料は次のとおりである。



2-2 アミンの分析

2-2-1 ベーパークロマトグラフィ法

ベーパークロマトグラフィによるアミンの分析⁽⁵⁾は簡単で、しかも再現性があるのでこれに

よって定性、定量を行なった。一般にペーパークロマトグラフィは密閉器の中で溶媒をろ紙に浸透させ、上昇法で展開させる。展開法には、一次元法と二次元法とがあるが、低級アミンは一次元法でも十分に分離できるので本実験では一次元法で行なった。以下に各項目ごとに述べる。

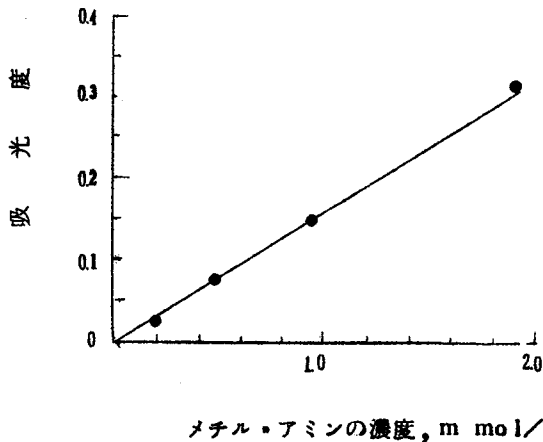
ろ紙；東京ろ紙№5 1 Aを用い、0.2%酢酸ナトリウムに浸して自然乾燥したものを使用した。試料の添加；0.02 ml 用のマイクロピペットを使い、1回添加するごとに、乾燥させ、これを5回くり返した。標準とした CH_3NH_2 、 $\text{C}_2\text{H}_5\text{NH}_2$ 、 $\text{C}_3\text{H}_7\text{NH}_2$ も同じようにして添加し、試料と同一ろ紙上で展開させた。

展開液；ブタノール、酢酸、水（4：1：5）の割合で分液ろ斗でよく混ぜ、静置後、二層に分れた上層のものを使用した。

展開条件；溶媒を入れた装置は水平な所に置き、装置の気密を確かめ、その内部を展開溶媒の蒸気で1時間ほど、飽和しておいた。また、展開温度は室温（25℃）で、展開時間は5時間であった。展開後、ろ紙を室内で乾燥させて発色させた。

発色剤と発色方法；0.2%ニンヒドリンの水飽和ブタノール溶液をろ紙に噴霧し、10分間ほどろ紙によく浸透させてから、約110℃の乾燥器内で発色させた。

定量方法；問題のアミンは水によく溶けるので、上記の発色後の紫色のスポットを切りとり、5 ccの水の中へ浸して約1時間、色素の抽出を行なった。またこのろ紙を乾燥させてから、再び抽出し、場合によっては3回くり返した。この抽出後の溶液について、分光光度計で570 μm における吸光度をしらべ、標準のアミンであらかじめ作成した検量線（第9図）にもとづいて試料の定量を行なった。なお検出の精度は $\pm 0.004 \text{ m mol/l}$ であった。



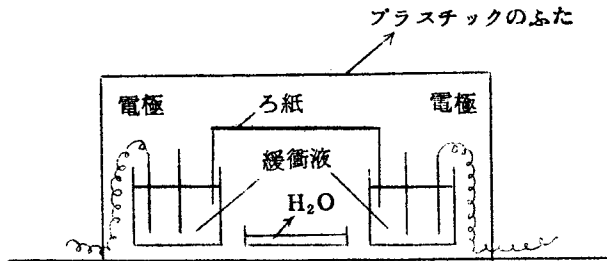
第9図 メチルアミンの検量線

2-2-2 通電ペーパークロマトグラフィ (ろ紙電気泳動法)

ろ紙電気泳動法とはろ紙を電解液または緩衝液の保持体として、その上に検べようとする物質をつけ、両端に⊕⊖の直流電圧を与えて物質を移動させ、定性および定量する分析法である⁽¹⁷⁾。

一般に水溶液中の粒子またはイオンなどの移動速度は $u = \frac{\zeta DE}{4\pi\eta}$ (ζ :ゼータ電位, D :溶液の透電度, E :両極間の電位勾配, η :液の粘度係数) で表わされ、ろ紙上の電気泳動においても基本的には同じであるが、ろ紙の長さ l も関係してくる。すなわち、 $u = \frac{\zeta DE}{4\pi\eta l}$ である。 u に及ぼす要因のうち、この式の中に含まれるもの以外にも、電気浸透、毛細管流、蒸発など諸種の要因がある。このように、ろ紙電気泳動法はその泳動値に及ぼす条件が非常に多い方法であるが、試料を常に標準品と同時に泳動させることによって、ほとんど問題は起らない。

本実験に使用した装置は第10図に示したものである。



第10図 ろ紙電気泳動装置

操作について簡単に述べると、各試料を出発線上 (ろ紙の中央) に、適当な間隔をあけて、マイクロピペットで帯状に添加し、そのろ紙を試料の近くまで電解液に浸して液がろ紙の全面に浸透してから、電流を通じた。泳動後のろ紙は乾燥させてから、ニンヒドリンで発色させた。なお泳動条件は以下のとおりである。

1枚のろ紙当りの電流値, 2~8 mA

電圧 28.5 V/cm

泳動時間と温度 20分間, 20°C

緩衝液とpH, 酢酸ソーダ/酢酸=5/2 pH=3.8

ろ紙の長さや幅, 28cm, 2cm

冷却剤, 四塩化炭素

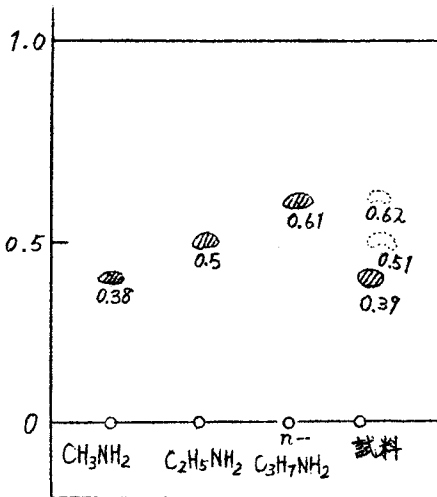
2-3 実験方法

加水分解の方法はちっ化ウランのときと同じ方法で行なった。またUCとUNの各粉末を機械的に1:1(モル比)に混合した試料についても同様に加水分解反応を行なった。

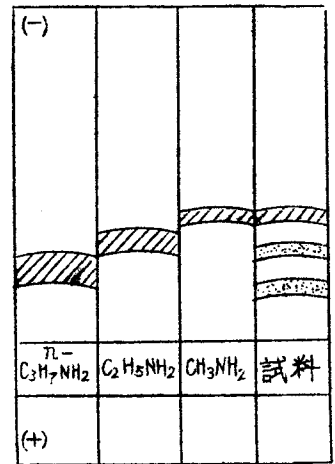
2-4 実験結果と考察

2-4-1 $UC_{1-x}N_x$ の加水分解

$UC_{1-x}N_x$ の加水分解において生成した気体は H_2 , CH_4 , C_2H_6 , C_3H_8 などである。また溶液中には NH_3 以外にアミン類が検出された。すなわち, CH_3NH_2 , $C_2H_5NH_2$, $C_3H_7NH_2$ などである。これについて, ペーパークロマトグラフィと通電ペーパークロマトグラフィの結果をそれぞれ第11図と第12図に示した。スポットの下の数字は R_f 値を示している。

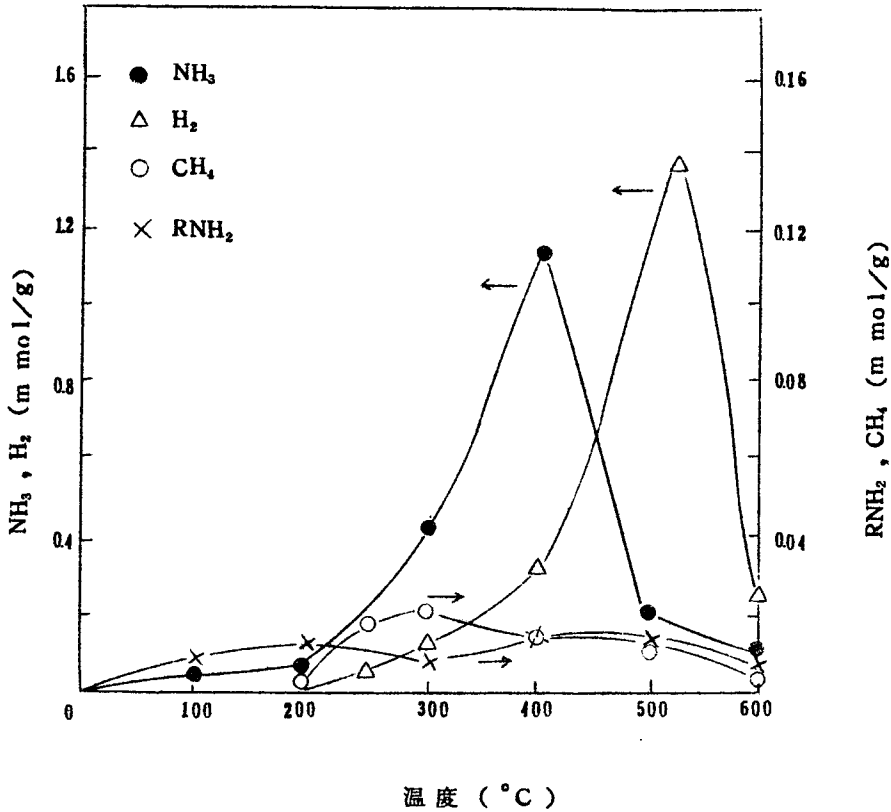


第11図 加水分解により生成したアミンと標準のアミンのペーパークロマトグラフィ



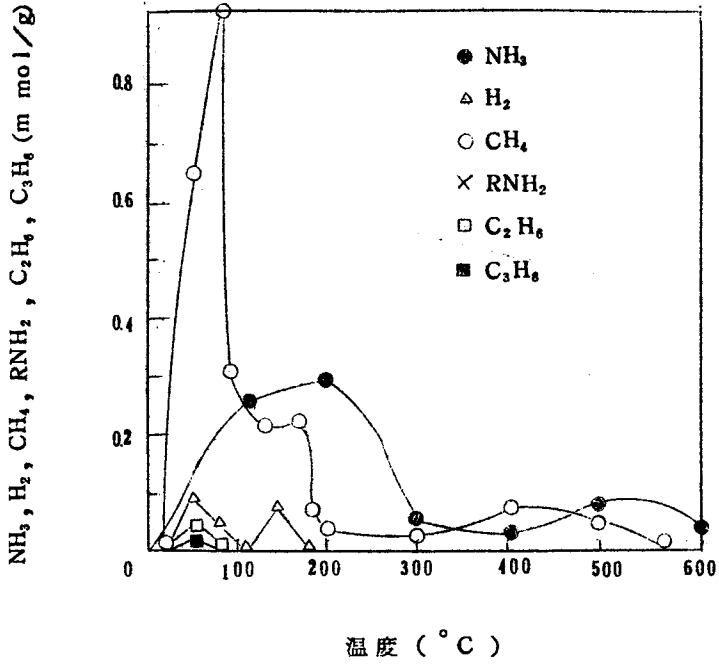
第12図 加水分解により生成したアミンと標準のアミンの通電ペーパークロマトグラフ

加水分解の温度上昇と共に, これらの生成物の量がどのように変化するかを3種類の組成のものについて第13~15図に示した。まず, $UC_{0.22}N_{0.78}$ (第13図) はUNの加水分解における挙動とほぼ同じであった。すなわち, $300^{\circ}C$ 以上の温度においてのみ, H_2 や NH_3 ,

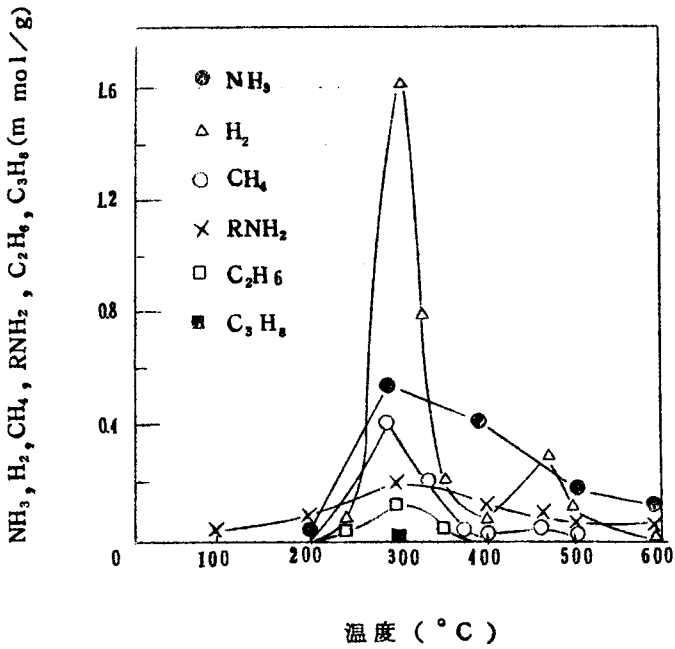


第13図 UC_{0.22}N_{0.78} の加水分解

の生成が活発であった。しかしUNの場合と異っている点はUNの場合には300°Cと550°C付近の2つの領域で顕著な反応が見られたが、この固溶体においては、その様子は見られなかった。また炭化水素やアミンの生成は全過程を通じてわずかであった。次にUC_{0.81}N_{0.19} (第14図)については、その反応はUCに近い挙動を示した⁽¹⁸⁾。すなわち、100°C以下でもよく反応し、この温度以下でもCH₄は全生成量の約80%が生成し、同時にC₂H₆やC₃H₈も生成した。この図からも明らかなように、前の試料に比べて、反応温度がずっと低い方へ移っている。次にUC_{0.53}N_{0.47} (第15図)は上記の2つの試料のちょうど中間的な様子を示したが、この試料の組成(C/N≒1:1)からも期待されるように、アミンはこの固溶体において最も多かった。ところで中間的な挙動を具体的にみると、図から分るように、まず反応温度において現われている。たとえば、300°C以下で生成したNH₃の量の全生成量に対する割合はUC_{0.22}N_{0.78}、UC_{0.53}N_{0.47}、UC_{0.81}N_{0.19}の各組成に応じて、27.2、45、87.4%



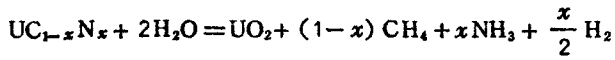
第14図 $\text{UC}_{0.81}\text{N}_{0.19}$ の加水分解



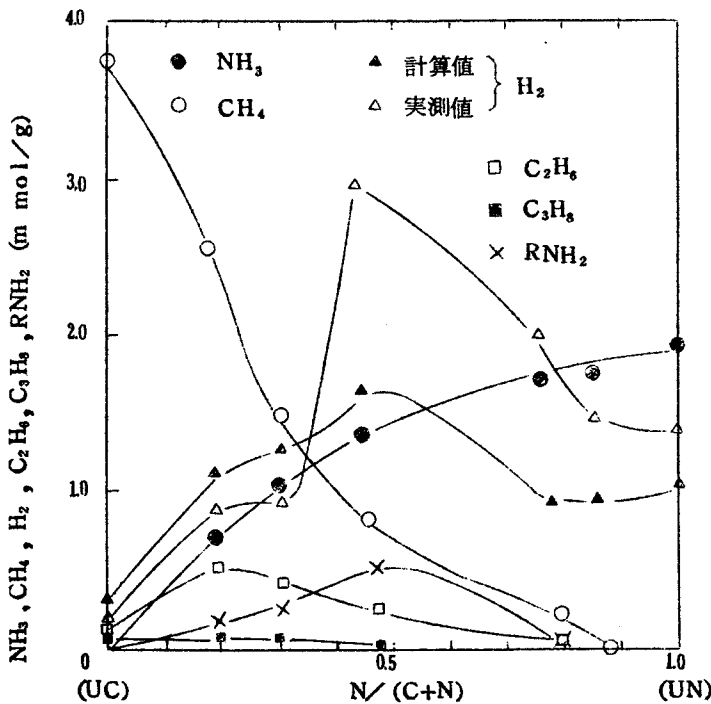
第15図 $\text{UC}_{0.53}\text{N}_{0.47}$ の加水分解

であった。

次に第16図に生成物の量とC/(C+N)との関係を示した。この図から明らかなように、加水分解による主な生成物はCH₄、NH₃、H₂などである。したがって、もっとも簡単に考えられる反応は次のとおりである。



実験結果のこの式からのずれを知るために、各生成物中に含まれている炭素やちっ素の量を生成物の量から計算して、その分布をしらべた。この結果が第3表に示されている。これによると、UC_{0.81}N_{0.19}に含まれていたちっ素の約99%がNH₃とRNH₂とに変化し、また炭素も約99%が炭化水素とアミンとに変化した。一方UC_{0.53}N_{0.47}については、ちっ素の24.3%、また炭素の20.3%がアミンになった。これはどの固溶体の場合よりも大きな値であった。また各生成物に変化した炭素は100%にはならず、67%だけであったが、ちっ素はほとんどNH₃とRNH₂とに変化した。次にUC_{0.22}N_{0.78}の場合、ちっ素の62.5%が、また炭素は19.5%だけ加水分解により気体や溶液生成物として現われた。以上のように、炭素やちっ素

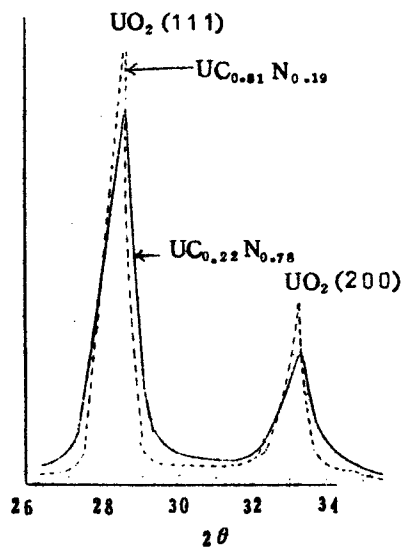


第16図 各固溶体とその加水分解生成物の量

第3表 加水分解生成物への炭素とちっ素の分布

試料	生成物中のちっ素(%)			生成物中の炭素(%)				
	NH ₃	RNH ₂	合計	CH ₄	C ₂ H ₆	C ₂ H ₄	RNH ₂	合計
UC	—	—	—	90.4	4.9	1.0	—	96.3
UC _{0.81} N _{0.19}	80.0	19.8	99.8	77.3	16.0	1.5	4.6	99.4
UC _{0.69} N _{0.31}	78.4	20.5	98.9	54.5	13.0	1.1	9.6	78.2
UC _{0.55} N _{0.47}	75.2	24.3	99.5	37.6	7.6	1.0	20.8	67.0
UC _{0.22} N _{0.78}	60.4	2.1	62.5	11.9	1.2	0	7.4	20.5
UC _{0.19} N _{0.87}	57.5	0.6	58.1	8.5	0.1	0	4.2	12.8
UN	55.0	—	55.0	—	—	—	—	—

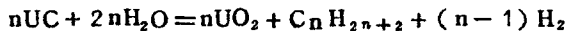
のバランスを考えると、特にちっ素の多い試料を考えると、分解後炭素やちっ素はまだかなり固体中に残存していると考えなければならない。すなわち、ちっ素含有量の多いU(C, N)の場合はUNのときに見られたようにちっ素の一部が固体の中へとり込まれていると考えられる。このことは第17図に示されたX-線回折図からも定性的に分る。この図ではUC_{0.22}N_{0.78}



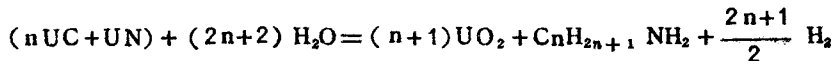
第17図 加水分解後の固体のX線回折図

の加水分解後の試料からの X-線回折図を $UC_{0.81}N_{0.19}$ の場合と比較して示してある。これから見られるように UO_2 のピークはもとのちっ素の多い試料では少ないものよりも幅が広くちっ素の固溶を示唆している。またちっ素の他の一部は高温領域で NH_3 の分解によって失われていると考えられるが、その量がどの位かは分らない。一方炭素も固体中に残存していると考えられるが、どの様な状態で存在しているかは明らかではない。一つの可能性としてはワックスのような高次炭化水素がある。また $600^\circ C$ までの加水分解において CO_2 の発生が見られたことから炭素が残存していることが明らかである。

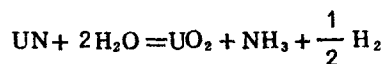
固体の中に炭素やちっ素が加水分解後もいく分残っているということに対する他の根拠は加水分解の時に発生する H_2 の量に関する考察からも得られる。すなわち、次のような一般式を考えると H_2 の量の変化が明らかになる。まず炭化水素については、



$n=1, 2, 3$ がそれぞれ CH_4, C_2H_6, C_3H_8 に対応する。次にアミンについても次のように書かれる。



ただし、前述したように本実験において $n=2, 3$ のアミンは少なかったため、すべて $n=1$ のものとして以下の考察も行なった。また NH_3 については次のとおりである。



このように、加水分解反応に際して発生する H_2 の量はアミンや高次炭化水素ほど多くなる。第 15 図に各生成物の量から、発生する H_2 の量を計算したものを H_2 (計算) として示してある。この計算値と実測値との差異は $UC_{0.83}N_{0.17}$ の近くや UN に近い組成のものほど大きかった。これは次のように考えられる。すなわち、定量的に述べるのは困難であるが、これらの試料においてはワックスのような高次炭化水素や U_2N_{3+x} が多くできているためと考えられる。

次に生成物の分布において、生成した CH_4 と C_2H_6 との量を比較するのは興味がある。すなわち、炭素含有量の多い試料においては C_2H_6/CH_4 比は UC のときの値 0.06 よりは一般に大きく、 $UC_{0.89}N_{0.31}$ の試料においてこの値は 0.26 となり、もっとも大きかった。これは炭素含量の多い試料ほど $C-C$ 結合が生成されやすいだろうという単純な考えでは説明がつかない。このような点から固溶体の加水分解においては、アミンやシアン化水素など $C-N$ 結合をもった化合物が $C-C$ 結合の生成に何らかの役割をしている可能性がある。そのために、加水分解

による生成物の分布がより複雑なものになり、反応機構なども簡単に表現できない。

以上のように炭ちっ化ウランの加水分解では、その組成がUCに近づくほど反応温度が低くなり、ほとんどの炭素やちっ素がそれぞれ低次の炭化水素やアンモニアになっていく。ここでUCやUC₂などの加水分解についても少し検討してみるためにUCおよびUC₂の加水分解による生成物の質量分析の結果 (mol %) を第4表に示した⁽⁹⁾。

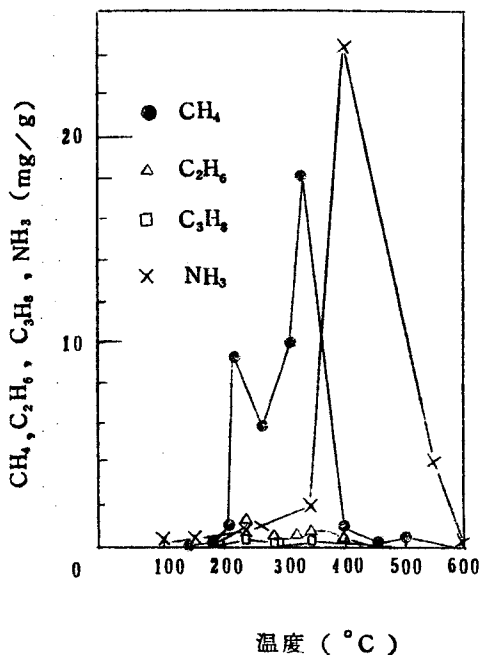
第4表 UCとUC₂との加水分解による生成気体

	H ₂	CH ₄	C ₂ H ₄	C ₂ H ₆	C ₃ H ₈	C ₄ H ₁₀	C ₅ H ₁₄
UC	8.9	79.7	0.8	3.1	1.2	0.5	1.6
UC ₂	14.1	17.3	5.3	39.4	2.0	5.9	—

これからも明らかなように、UC₂の混在しないUCの加水分解からもC-CやC=CやC-C-Cなど炭素の連鎖した炭化水素が1.4%も生成している。このことはU(C, N)からアミンの他にCH₄を除いた炭化水素とりわけC₂H₆が多く生成したことと関連して、加水分解によってどのようにしてC-CやC-N結合が生じるかという問題をひきおこす。次にこの観点から行なった一つの実験結果について述べる。

2-4-2 (UC + UN) 混合体の加水分解

この結果を固溶体UC_{0.55}N_{0.47}の場合と比較して、第5表に示した。これによると、(UC + UN) 混合体では、炭素はほとんど完全に気体生成物に変化し、またちっ素も約50%がNH₃に変化した。ところが固溶体の場合のように、C-N結合をもった化合物は生成しなかった。次にこの場合の反応の経過を第18図に示した。CH₄とNH₃の検出にいく分時間的なずれがあるが、生成温度のちがいはそれ以上であり、UCとUNとが別々に反応したことを示している。したがって、この試料ではUCとUNとがたがいに別々に加水分解され、UNにおいて形成されたNHやNH₂のような遊離基が他の基、たとえばCH₃などと反応することが妨げられている。このようにして炭ちっ化物の加水分解においてC-C、C-N、C-C-Nなどの結合が形成される可能な機構は次のようなものと考えられる。すなわち、第1番目にNHやNH₂などの基がCH₃などと反応するとしても、長い距離を移動するのではなく、反応表面のごく小領域においてたがいに反応して、C-CやC-Nなどの結合が形成される。第2番目の可能性として、加水分解の初期段階でC-C、C-N、C-C-Nなどの結合ができて、それに水素が添加してアミンなどができ、またスケルトンの形成や重合などによって高次炭化水

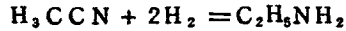
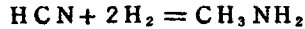


第18図 混合体 (UN+UC) の加水分解

第5表 加水分解生成物における炭素とちっ素の分布について、固溶体 (C : N ≈ 1 : 1) とUNとUCの機械的混合体 (等モル数) との比較

生成物	UC _{0.53} N _{0.47}		UNとUCの混合体	
	ちっ素 (%)	炭素 (%)	ちっ素 (%)	炭素 (%)
NH ₃	75.2	...	55.0	...
RNH ₂	24.3	20.8	0	0
CH ₄	...	37.6	...	90.4
C ₂ H ₆	...	7.6	...	4.9
C ₃ H ₈	...	1.0	...	1.0
Total	99.5	67.0	55.0	96.3

素が形成される。たとえば，シアンやニトリルなどからアミンができる場合，次のような反応が推測される。



以上の2つの機構のうち，どちらが C_2H_6 や C_3H_8 あるいはアミンの生成に役割を果しているかを定めることは，この段階においては困難であると思われる。

2-5 総括

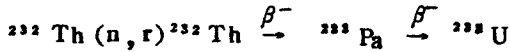
本章では，いろいろの組成の一炭ちっ化ウラン $\text{UC}_{1-x}\text{N}_x$ の加水分解を第1章と同じように研究し，UCとUNの加水分解の挙動と比較検討した。生成物は気体として H_2 ， CH_4 ， C_2H_6 ， C_3H_8 などで，溶液中には NH_3 ， CH_3NH_2 ， $\text{C}_2\text{H}_5\text{NH}_2$ ， $\text{C}_3\text{H}_7\text{NH}_2$ などが認められた。また生成物の種類は試料の組成比 $\text{C}/(\text{C}+\text{N})$ によって変らなかったが，その量は変化した。一方反応温度は組成によって著しく影響され，炭素の多い固溶体すなわち，組成がUCに近いものほど容易に反応し，逆にUNに近い組成のものほど反応温度は高かった。

炭ちっ化ウランの加水分解における特徴はアミンが生成することである。その量は $\text{C}/\text{N} \approx 1:1$ の固溶体において最も多かった。

炭ちっ化ウランの加水分解反応の機構をしらべるために，UNとUCとを機械的に混合した試料の加水分解を行なった。この場合には，アミンは生成しなかった。このことから，アミン生成の機構として2つの可能性が考えられた。1つは遊離基同志が短い距離の移動によって相互作用し，C-Nなどの結合をつくるという考えであり，他はC-C-Nのようなスケルトンがまず加水分解初期にでき，次にこれが水素化されるという考えである。

第3章 一ちっ化トリウムの水蒸気による加水分解

トリウムは次の核反応で核分裂性同位体の供給を増大する。



したがって、緒言にも述べたようにトリウムは高速増殖炉や転換炉などのこれからの核燃料として重要な物質である。ThもUと同じように超硬耐熱物質をつくる。たとえば、Th-O, Th-N, Th-C, Th-B, Th-P, Th-S などの系である。今のところこれらの化合物に関する研究はウランの場合にくらべて、ずっと少ないようである。とくにその化学的性質については、文献も非常に少ない。

Kempton⁽²⁴⁾ や Kachi⁽²⁵⁾ らは ThC や ThC₂ の基礎的な性質の1つとして加水分解の研究を行ない、生成物と炭化物の結晶構造との関連性を報告している。

本実験においては、Th-N系について水や水蒸気との反応から化合物の化学的な性質をしらべた。本章においてTh-N系のうち、一ちっ化トリウム (ThN) を扱い、次章で固溶体Th (C, N) について述べる。

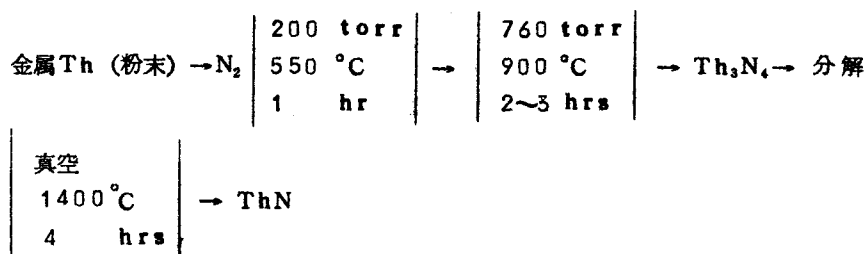
3-1 ThNの生成

トリウムとちっ素との反応については、Geders⁽²⁰⁾ が速度論的な面から研究を行ない、850 °C から 1500 °C の範囲において、ちっ素がトリウムへ溶け込む量は温度に対してほぼ直線的に変化することを報告している。またTh-N系の相平衡に関するBenz⁽²¹⁾ らの研究によると、N/Th < 1 では、ThNとThの2相が存在する。しかしThNはUNと異なっていて、かなりの組成幅が存在するようであるが、ThN_{1-x} の下限はまだ分っていない。ところでTh-N系についての知見は今のところ、確立されていないが、次の3相の存在が知られている。

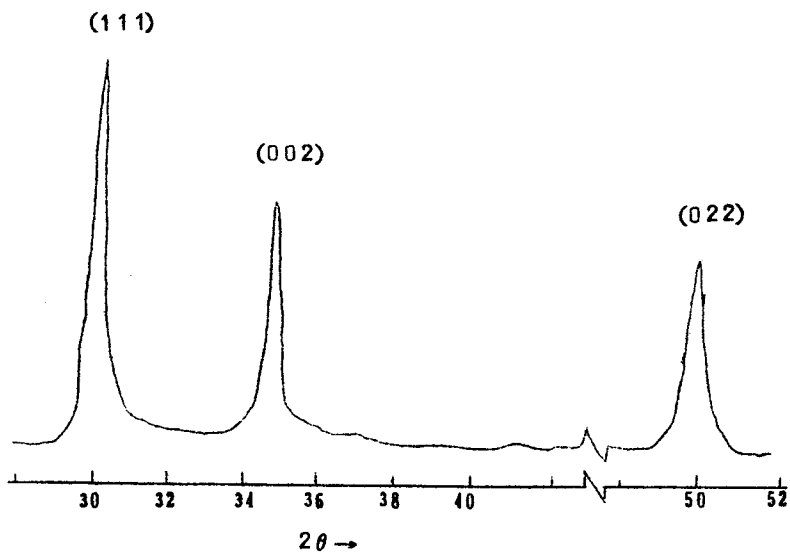
第6表 Th-N系

	結晶構造	格子定数 Å	文献
ThN	面心立方, NaCl型	a = 5.159 ~ 5.163	(22)
Th ₃ N ₄	菱面体 Al ₄ C ₃ 型	a = 3.871 c = 27.385	(23)
Th ₂ N ₂ O	六方晶 La ₂ O ₃ 型	a = 3.883 c = 6.187	(23)

次にAuskern⁽²²⁾らのThNの製法を示す。



本実験において使用したThNは次のような方法でつくった。すなわち、粉末の金属トリウム (Americar Potash社製, 99.4~7%Th, 0.03~0.07%Ca, 0.05~0.08%Fe, 0.02%A₂O₃) を活性化銅 (約200 °C) を通して精製したN₂ガス中 (711 torr) で4時間, 1240 °Cで加熱した。反応後, X線回折で分析すると (第19図), Th₃N₄やThO₂などの相は認められなかった。また重量変化から求めたN/Thは0.94で格子定数はa=5.163 Åであった。なお, 加水分解に使った粉末の粒度は100~200メッシュであった。



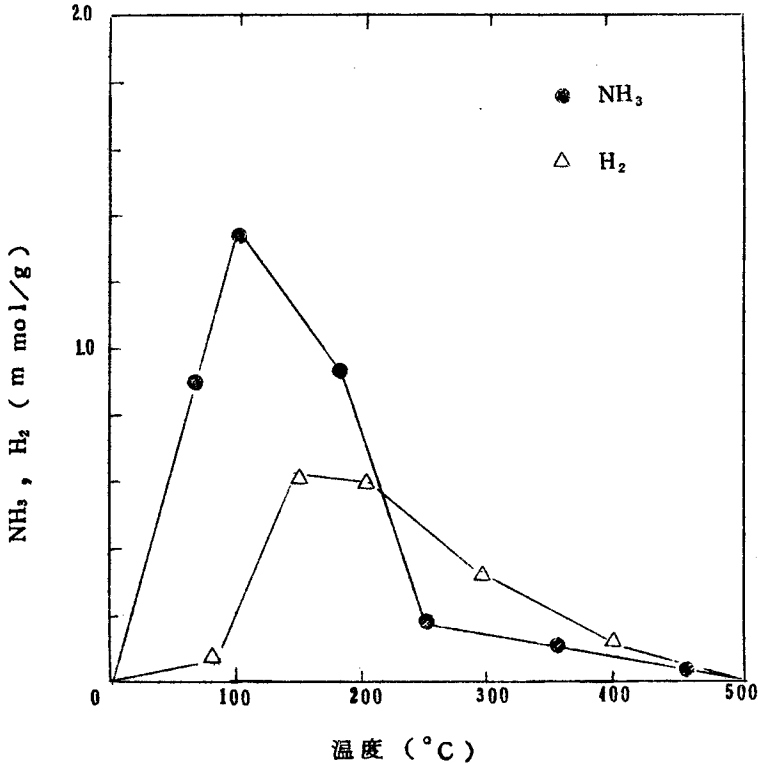
第19図 ThNのX線回折図

3-2 実験方法

加水分解, 熱分解, N_2 中での加水分解のどの実験もウラン化合物の場合と同じであるので, ここでは少量する。

3-3 実験結果と考察

検出された反応生成物は H_2 と NH_3 とであった。また, UN や U_2N_3 の場合に認められた N_2 の発生はここでは認められなかった。次に反応の過程を第20図に示した。これから明らかなように, $100 \sim 200^\circ C$ の温度領域で, すでによく反応し, NH_3 は $200^\circ C$ 以下で全生成量の91%が生成した。前述したように, UNの加水分解のときは $300^\circ C$ と $550^\circ C$ 付近で, 反応が活発であった。そして高温領域でも多くの NH_3 が生成したのは, 低温領域で U_2N_3+x のような高次ちっ化物ができ, それが高温領域でさらに加水分解するからであると考えた。ところが ThN の加水分解においては, 高温でそのような現象は認められなかった。このことは ThN の加水分解においては, 高次ちっ化物はほとんど生成していないことを示唆している。さらにこの



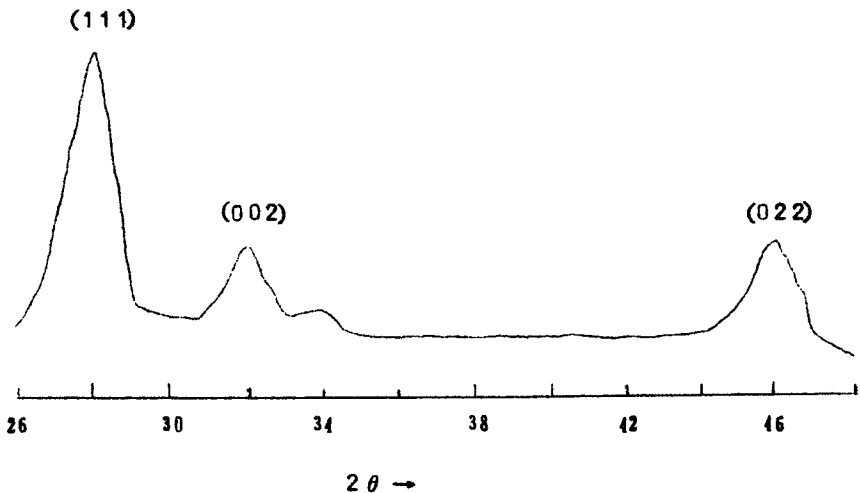
第20図 ThNの加水分解

事実は加水分解後の試料の熱分解によって、 N_2 が発生しなかったことや、また N_2 ガス中での加水分解による NH_3 の生成量は普通の加水分解（He ガス中）におけるその生成量とほとんど変わらなかったことなどからも確認された。この結果を第7表にまとめた。こゝに明らかをよりに、ThNを加水分解した後の試料からの熱分解による N_2 の放出量はUNの場合と比較してかなり少なかった。

第7表 加水分解後の試料の熱分解による N_2 の放出量
(m mol/g)

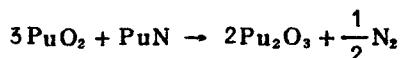
加水分解	ThN	UN
He ガス中	0.016	0.33
N_2 ガス中	0.017	0.21

一方 X-線回折の結果においても第21図に示されているように ThO_2 の回折線のみで Th_3N_4 や Th_2N_2O などによる回折線は認められなかった。



第21図 ThNの加水分解（室温～550 °C）後のX線回折図

ThNの水に対する反応性はPuNといく分類似している。すなわち、PuNは低温でも湿った空気中において分解され、したがって水との反応性は大きい。たとえば、Brownら⁽²⁷⁾は空気中で15分ごとに30°Cずつ昇温しながら、PuNを加熱していくと90°C付近で、重量増加が急速になったと報告している。また加水分解による固体生成物の点からみると、PuNは室温で反応して、 $\text{PuO}_2 \cdot x\text{H}_2\text{O}$ を形成する。一方高い温度では、PuNが PuO_2 を還元して Pu_2O_3 （六方晶）を形成するといわれている⁽²⁸⁾。これは次の反応による。



ThNも室温でも容易に水と反応するから、空気中の水蒸気を吸着して $\text{ThO}_2 \cdot x\text{H}_2\text{O}$ になると考えられる。しかしUNは低い温度では反応しないので、おそらくこのような化合物は生成しないであろう。

ところで、水蒸気を含まない酸素との反応では、PuNはUNと同じく300°C付近で燃焼が始まり PuO_2 になる⁽²⁸⁾。ThNの燃焼開始もほぼ同じ位の温度であると考えられる。しかし水が存在すると、上述のようにそれに対する抵抗性がPuNもThNもUNとはかなり異なっている。このような点にもアクチノイド金属の複雑さが現われており、今後このような化学的性質について解明されることが望まれる。

3-4 総括

ここではThNの加熱水蒸気による加水分解について述べた。生成物は NH_3 と H_2 とであった。この点についてはUNの場合と相異はない。しかしながら、反応温度はThNの場合はUNと比較してかなり低かった。また熱分解によるちっ素の発生量やX-線回折などによって確認されたように、 Th_3N_4 のような高次ちっ化物や $\text{Th}_2\text{N}_2\text{O}$ のような化合物は生成しなかった。さらに、 N_2 ガス中における加水分解で NH_3 の生成量は増加しなかった。これらの点がUNの加水分解に対する挙動と異なっていた。すなわちThNの場合にはUNの場合に比べて固体中へのちっ素のとり込みが少なかったわけである。その理由は高次ちっ化物の結晶構造にあると考えられた（後述）。

第4章 炭ちっ化トリウムの水蒸気による加水分解

トリウムの岩塩型化合物の中で、ちっ化物および炭化物はリン化物や硫化物のように物理的には、超硬耐熱性を持っているが、その化学的性質については前章でも述べたように、空気中の水蒸気によっても容易に酸化される、いわゆる salt-like な性質をもっている。また炭化物はちっ化物以上に反応性が高いようである。これの加水分解の研究はすでに報告されている⁽²⁴⁾⁽²⁵⁾。たとえば、ThCでは加水分解による生成ガスはCH₄がほとんど100%を占めることと炭化物の結晶構造などとの関連性が述べられている。しかし固溶体ThC-ThNに関するこの種の報告は今のところない。反応性とは直接、関係がないかもしれないが、最近Benzによってなされた興味ある研究⁽¹⁵⁾として、ThC_{1-x}N_xの融点の組成変化に関する報告がある。

本章においては、ThC_{1-x}N_xをつくり加水分解によって生成物をしらべ、その種類と反応性などについて、UC_{1-x}N_xの場合と比較しながら、固溶体の組成による変化を検討した。

4-1 ThC_{1-x}N_xの生成

ThCとThNもUCとUNと同じように全率固溶し、固溶体を容易に生成することができる。しかしUC-UNほど熱力学的にもまだあまり研究されていないのが現状である。

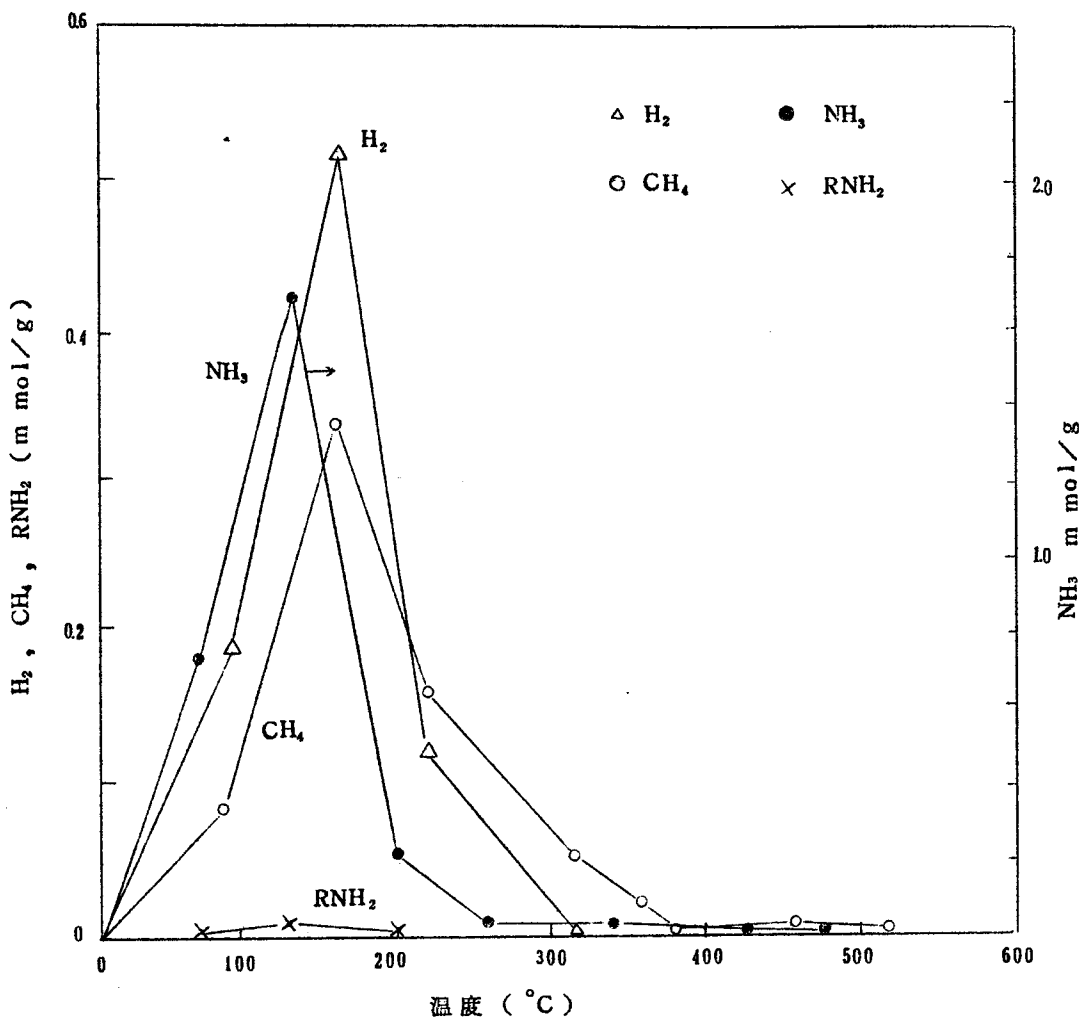
本実験で使ったThC_{1-x}N_xの生成法は次のとおりである。3-1で述べたようにしてつくったThNの粉末と黒鉛粉末とを所定量だけ混合し、プレス(Arガス中)してペレット(8φ, 3mm)をつくる。これを真空中で、4時間、1700°C~1750°Cで加熱した。反応後、X-線回折によって格子定数を求め、Vegardの法則が成り立つと仮定して、組成xを決めた。ここで使った試料は次のものである。ThC_{0.10}N_{0.81}, ThC_{0.42}N_{0.58}, ThC_{0.53}N_{0.47}, ThC_{0.64}N_{0.36}, ThC_{0.76}N_{0.24}。

4-2 実験方法

加水分解の方法およびアミンの分析などは今までと同じであるので、ここでは省略する。

4-3 実験結果と考察

ThC_{1-x}N_xの水蒸気との反応の経過を3つの試料について以下に述べる。まず、ThC_{0.10}N_{0.81}の結果を第22図に示した。横軸は加熱水蒸気の温度で、縦軸は左側がRNH₂, CH₄,



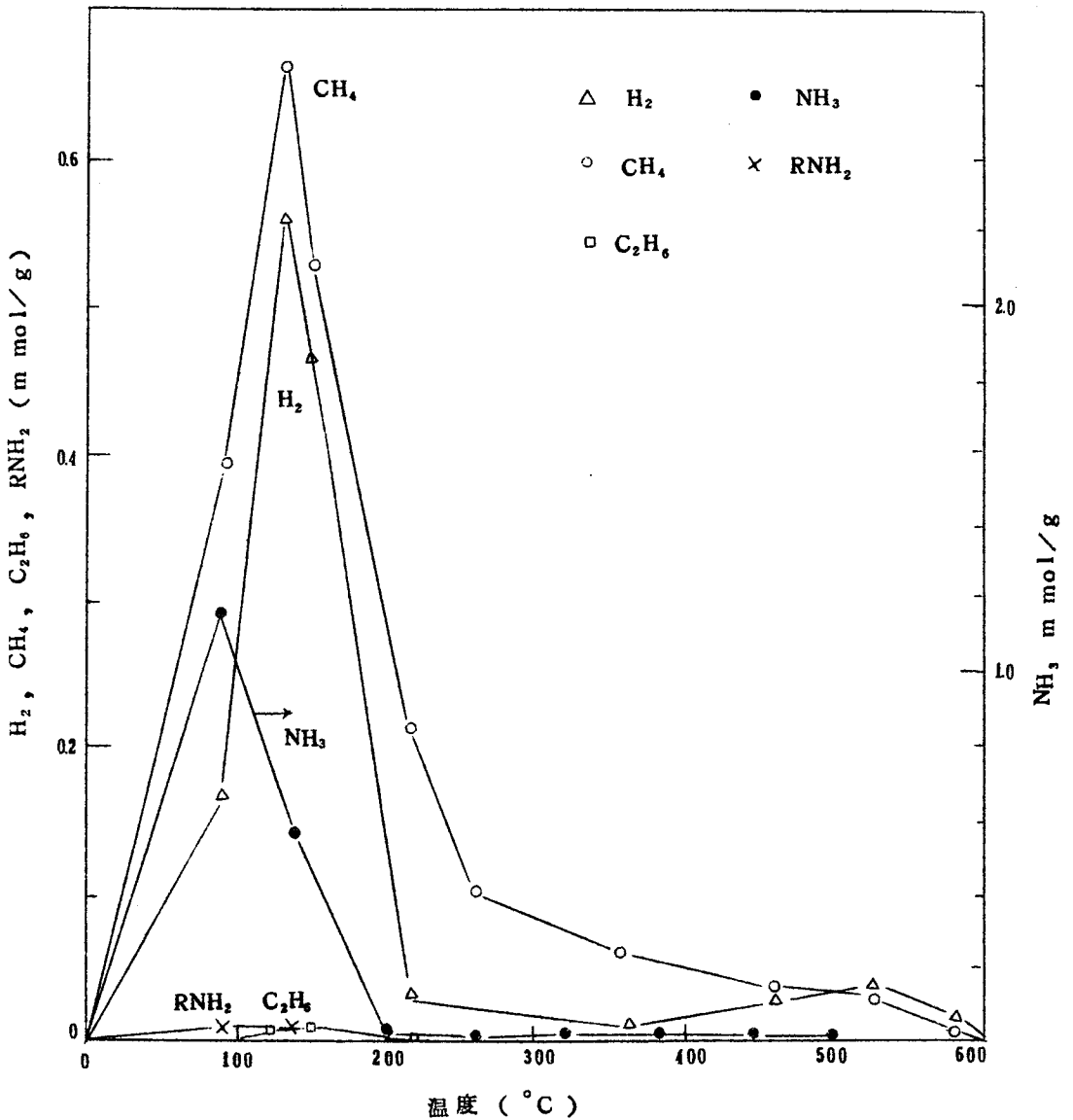
第22図 ThC_{0.19}N_{0.81} の加水分解

H₂ の各生成量を表わし、右側はNH₃を表わしている。いずれも単位はm mol/g である。反応温度は150°C 付近にあり、200°C に達する前に反応はほぼ完了するようである。たとえばNH₃は全生成量の約96%が200°C 以下で生成し、またCH₄についてはこの値は約84%であった。

次にThC_{0.53}N_{0.47} についてみると、その生成物の種類は上の試料と変わらない。この場合の反

応経過を第23図に示した。反応は100°C付近からはじまり、200°C以下で生成されるNH₃は全生成量の約97%であり、またCH₄に対するこの値は約85%であった。

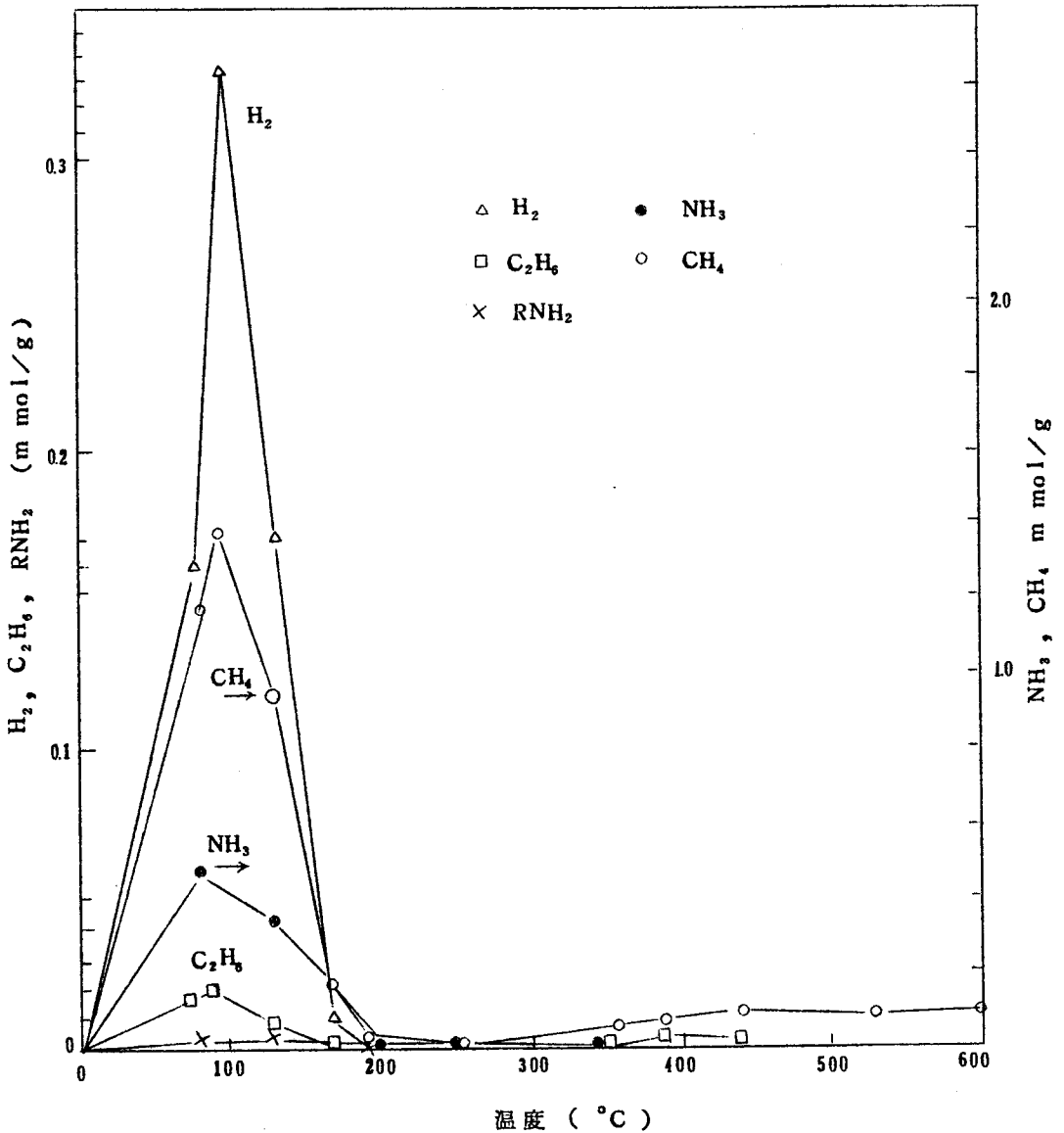
次にこれらの試料中で、最も炭素含有量の多いThC_{0.76}N_{0.24}も上の2つのものと生成物の種類は変わらないが、第24図に示したように、反応はほぼ80°Cから始まり、これらの試料中でも最も低い温度で反応がおこることが分る。また、200°C以下のNH₃の生成量は約97%



第23図 ThC_{0.53}N_{0.47}の加水分解

であり、 CH_4 は約90%が生成した。以上の反応経過についての結果から、 $\text{ThC}_{1-x}\text{N}_x$ の反応性は炭素含有量の多いものほど大きいことが分った。すなわち、固溶体の組成が ThC に近づくほど反応温度が低くなる。

次に各固溶体中の炭素やちっ素が加水分解による生成物へどのように分布しているかを第8表に示した。これから明らかたように試料中のちっ素の80%以上が NH_3 になった。これは各固溶



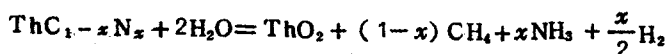
第24図 $\text{ThC}_{0.76}\text{N}_{0.24}$ の加水分解

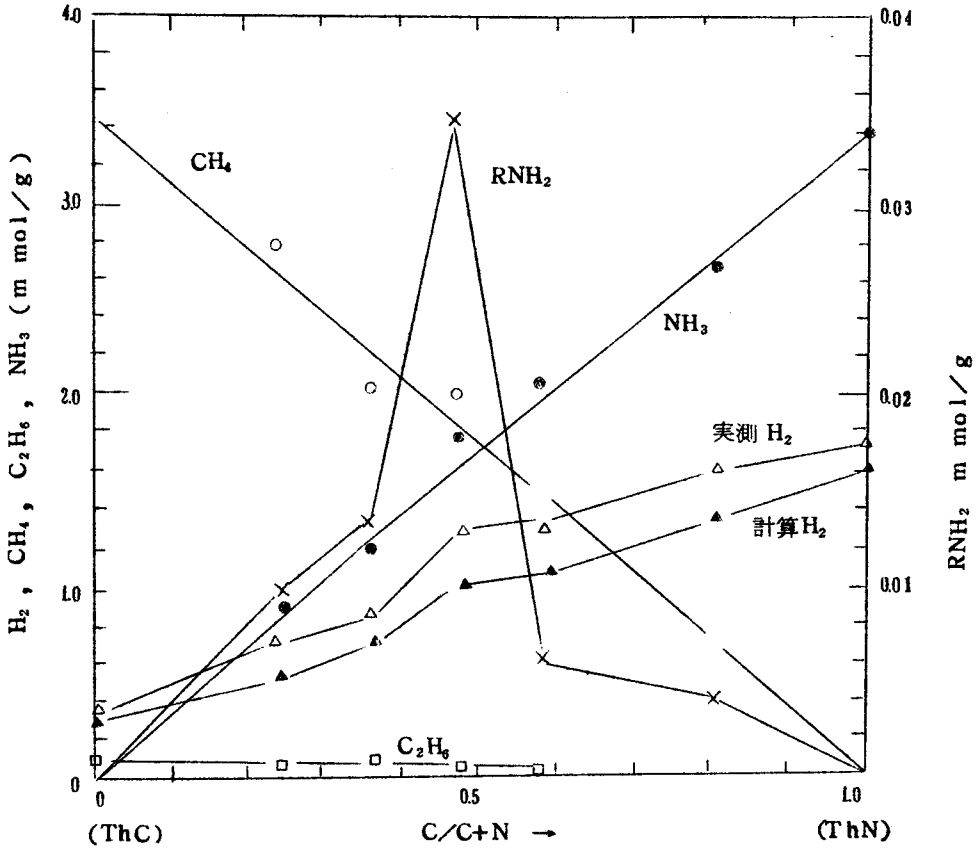
体によって大した差はないが、炭素の多い試料ほどNH₃の生成率が大きくなる傾向を示している。一方炭素も79%以上がCH₄になったが、その生成率は各試料において大差はなかった。また、他の生成物、C₂H₆、C₃H₈、RNH₂らは少なかった。RNH₂はC/N比が大体1であるThC_{0.53}N_{0.47}において最も多く生成した。一方加水分解後の5つの試料について、それぞれ酸素中で約30分間、900°Cに加熱し、試料中の炭素をCO₂に変化させ、炭素分析を行なった。その結果、固体生成物中に、もとの試料中の炭素の12~15%の残存炭素が認められた。これは、おそらくワックス状の高次炭化水素であると考えられる。ところで金属トリウムの水蒸気との反応では、ThO₂とH₂とが発生するが、その副反応として、トリウム-水素化合物ができ、真空中で1200°Cに加熱すると、H₂が発生することが認められている⁽²⁶⁾。したがって、ThC_{1-x}N_xの場合もOHなどが固体中へ入り、Cと結合して炭素質なものができることは充分考えられる。

第8表 加水生成物における炭素とちっ素の分布

試料	生成物中のちっ素(%)			生成物中の炭素(%)					
	NH ₃	RNH ₂	合計	CH ₄	C ₂ H ₆	C ₃ H ₈	RNH ₂	residue	合計
ThC	—	—	—	86.4	2.4	0	—	—	88.8
ThC _{0.76} N _{0.24}	87.7	0.94	88.6	81.9	1.9	0.28	0.26	14.1	98.4
ThC _{0.64} N _{0.36}	87.1	0.87	88.0	80.8	4.0	0.38	0.49	11.6	97.3
ThC _{0.53} N _{0.47}	84.9	1.22	86.1	81.5	1.8	0	1.33	12.8	97.4
ThC _{0.42} N _{0.58}	87.4	0.24	87.6	79.6	1.6	0	0.32	15.5	97.0
ThC _{0.31} N _{0.69}	81.9	0.15	82.1	79.8	1.2	0	0.47	15.0	96.5
ThN	83.6	—	83.6	—	—	—	—	—	—

次にThC_{1-x}N_xの加水分解の特徴を、さらに明らかにするために各生成物の量を固溶体の組成に対してプロットした。その結果を第25図に示した。これから分るように、CH₄やNH₃の生成量は組成に対してほぼ直線的に変化している。これはThC_{1-x}N_xの加水分解において、前述したようにCH₄やNH₃以外の生成物の量が比較的少ないからである。したがって次のような反応式が当てはまると考えられる。





第25図 固溶体の組成による加水分解生成物の量の変化

またアミンはC/N \approx 1のとき最も多く生成した。ただしRNH₂だけは縦軸の右側に示した量で表わされている。一方C₂H₆はThC_{0.94}N_{0.06}のとき最も多かった。しかしその根拠については明らかではない。次に生成したH₂の実測値は△印(実測)で示されている。H₂の量はNH₃と共に単調に増えた。これはH₂の発生を伴う生成物がほとんどNH₃であって、C₂H₆、C₃H₈、RNH₂らが少ないからである。このことはC₂H₆やRNH₂がかなり生成したU(C,N)の場合には認められなかった。ところでU(C,N)のときと同様に考えて発生するH₂の量を生成物の種類と量とから計算することができる。こうして得られたH₂の量を第25図に△印(計算)で示した。この値と実測との間にいく分差がみられるのは、実際には一部の炭素質な固体が生成す

る際に H_2 が発生しているためと考えられるが、定量的には分らない。

次に Th (C, N) と U (C, N) の加水分解を比較した。まず、反応温度において著しい差が認められた。すなわち Th (C, N) の場合は、上に述べたように、それほど組成によらず、100 °C 前後で反応がおこったが、U (C, N) の場合は、組成によってその温度に大分差がみられた。次に Th (C, N) と U (C, N) のそれぞれの5種類の組成の中で各生成物が最も多く生成した場合の量を拾い、炭素、ちっ素の生成物への分布をしらべたところ次のことが分った (第9表)。

第9表 各生成物の量の比較 (m mol/g)

	CH ₄	C ₂ H ₆	C ₃ H ₈	RNH ₂
Th (C, N)	2.81	0.11	0.01	0.04
U (C, N)	2.60	0.50	0.05	0.50

すなわち、Th (C, N) の場合は、U (C, N) の場合に比べ C-C, C-N, C-C-C の結合をもった化合物がかなり少ない。このことは Th (C, N) の格子中の原子間距離が U (C, N) などと比較して大きいためであることも一つの原因になっているのではないかと考えられる。なお、たとえば ThC_{0.5}N_{0.5} において最近接 C-N 距離は 3.709 Å であり、UC_{0.5}N_{0.5} では 3.481 Å である。

4-4 総括

本章においては ThC_{1-x}N_x と加熱水蒸気との反応について述べ、UC_{1-x}N_x の場合との比較検討も行った。

まず生成物の種類は固溶体の組成によらず、H₂, CH₄, C₂H₆, C₃H₈, NH₃ や低級脂肪族のアミン類であり、一方固体は 600 °C までの加水分解において ThO₂ に変化した。

生成物の量は固溶体の組成によって変化した。すなわち、CH₄ や NH₃ の量は C / (C+N) に対してほぼ直線的に変化し、H₂ の量も NH₃ の量と共に変化した。ところでアミンは C / (C+N) ≈ 1 の固溶体において最も多く生成したが、その量は少なく、試料中の炭素とちっ素は 80 % 以上がそれぞれ、CH₄ と NH₃ とに変化した。これは Th (C, N) の加水分解の特徴である。

ThC_{1-x}N_x の反応性は一般にかなり大きいことが分った。さらに U (C, N) の場合と同様に炭素の多い固溶体ほど反応性が大きくなる傾向があった。すなわち、ThC に近いものほど反応温度は低く、また炭素やちっ素の CH₄ や NH₃ へ変化する割合も ThN 側のものよりもいく

分大きかった。

$\text{ThC}_{1-x}\text{N}_x$ の加水分解では $\text{UC}_{1-x}\text{N}_x$ の場合と比較して $\text{C}-\text{C}$, $\text{C}-\text{N}$, $\text{C}-\text{C}-\text{C}$ などの結合をもった化合物が全般的に少なかった。その一つの原因として $\text{ThC}_{1-x}\text{N}_x$ 格子における $\text{C}-\text{C}$, $\text{C}-\text{N}$ 原子間距離が大きいことが考えられる。

第5章 ThN , Th_3N_4 , $\text{Th}_2\text{N}_2\text{O}$, $\text{Th}(\text{C}, \text{N})$ の水による加水分解

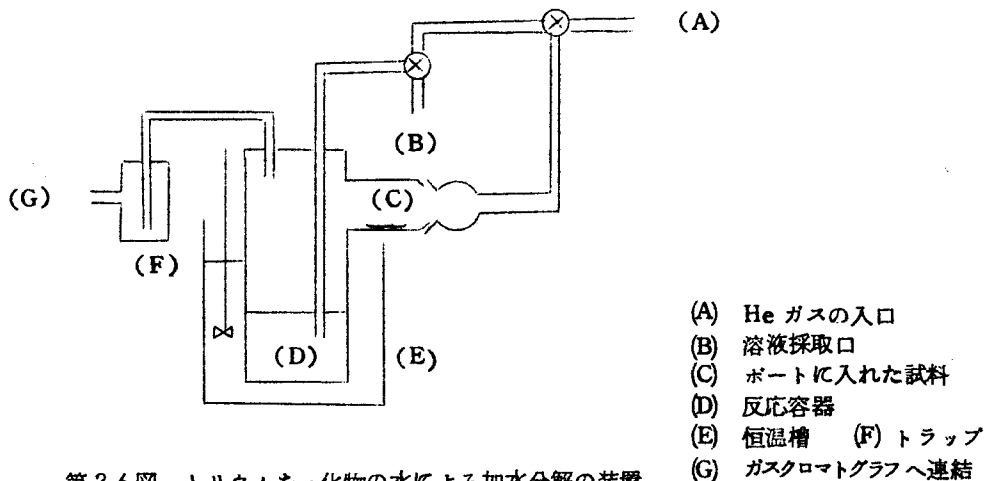
トリウムのおっ化物や炭おっ化物が一般に反応性に富んでいることが第2章および第3章において明らかになったが、この章においては、トリウムの一連のおっ化物について、主に反応速度論的な点から 100°C 以下の水によるそれらの加水分解の挙動に関して検討した。

5-2 実験装置および方法

装置の図を第26図に示した。系をあらかじめ、 He ガス雰囲気にし、(D) の水を所定温度にした後、一定量の粉末試料 (100~200メッシュ) をガラス製のポートに入れ (C)、磁石で (D) へ落す。(A) から He ガスを流し、反応容器内の圧力を高くして一定時間毎に、(D) 中の溶液を (B) から一定量だけとり出す。この溶液については NH_3 の定量を行ない、一方生成ガスは (G) からガスクロマトグラフィへ導いた。なお (F) は (D) から NH_3 が逃げた場合のトラップ (H_2O) である。(E) は恒温槽で、ヒーターと攪拌器とを入れてある。また反応を行なった水の温度は 5°C , 10°C , 40°C , 70°C であった。

5-1 Th_3N_4 と $\text{Th}_2\text{N}_2\text{O}$ の生成

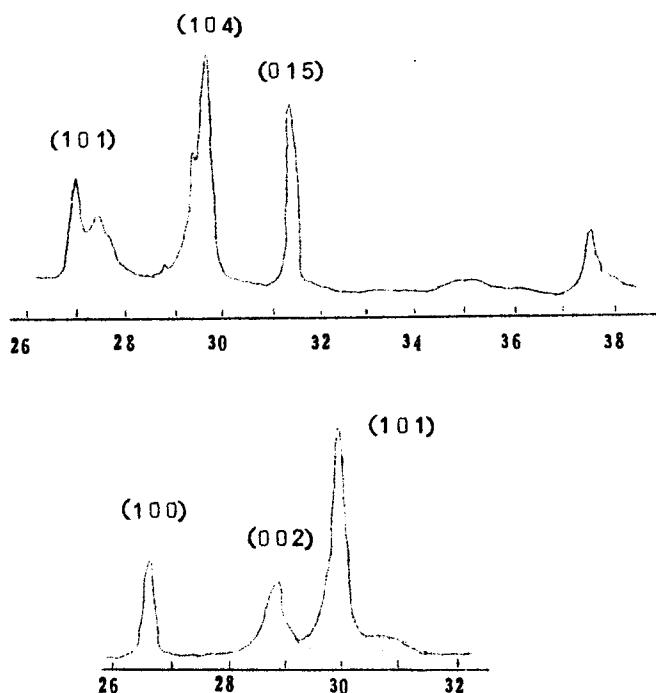
Th_3N_4 の相はかなり以前に見い出されており^(a)、後にその結晶構造は菱面体晶の Al_4C_3 型であることが分った。また六方晶の希土類酸化物と同じ結晶構造をもつものとしては、 $\text{Th}_2\text{N}_2\text{O}$



第26図 トリウムおっ化物の水による加水分解の装置

が報告されたが⁽³⁰⁾、その後の研究によって、この La_2O_3 型の六方晶のものは $\text{Th}_2\text{N}_2\text{O}$ として記述されるものであると報告されている⁽³¹⁾。またこれらの格子定数は Th_3N_4 が $a_0 = 9.398 \text{ \AA}$ 、 $\alpha = 23.78^\circ$ であり、 $\text{Th}_2\text{N}_2\text{O}$ は $a_0 = 3.871 \text{ \AA}$ 、 $c_0 = 6.187 \text{ \AA}$ である⁽³²⁾。3-1でBenzのTh-N系の相平衡に関する研究⁽²¹⁾についてその一部を述べたが、さらに $\text{N/Th} > 1$ ではThNと Th_3N_4 とが共存し $\text{N/Th} \approx 1.33$ になると、 Th_3N_4 の一相のみであることが報告されている。また最近、Juzara⁽³²⁾はThNと Th_3N_4 とから $\text{Th}_2\text{N}_2(\text{NH})$ をつくり、これの熱分解で Th_3N_4 を得てこれを $\alpha\text{-Th}_3\text{N}_4$ と名付けた。さらに Th_3N_4 と ThO_2 とを加熱して得られたものが $\beta\text{-Th}_3\text{N}_4$ であって、これが La_2O_3 型の $\text{Th}_2\text{N}_2\text{O}$ に一致するものであることを報告している。また彼らによると、 $\text{Th}_2\text{N}_2\text{O}$ の格子定数は $a = 3.880 \text{ \AA}$ 、 $c_0 = 6.180 \text{ \AA}$ である。

本実験で使用した Th_3N_4 は次のようにしてつくったものである。すなわち、モリブデンポットに入れた粉末のトリウム金属(30頁)を活性化銅(約 250°C)を通して精製した N_2 ガス中で、約3時間、 1200°C で加熱した。反応後の粉末は褐色で、X-線回折でしらべると Th_3N_4 による回折線のみでThN、 ThO_2 、 $\text{Th}_2\text{N}_2\text{O}$ らによるものは認められなかった(第27図)。



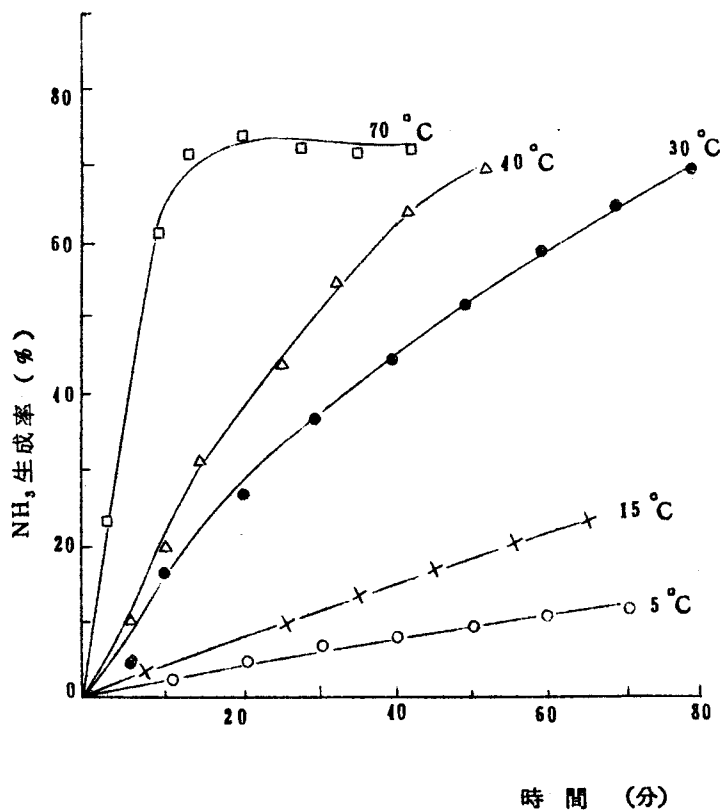
第27図 Th_3N_4 (上) と $\text{Th}_2\text{N}_2\text{O}$ (下) のX線回折図

またち化後の重量変化によれば、 N/Th は1.31であった。次に Th_2N_2O は上述のトリウム金属に化学量論量の ThO_2 を混ぜて、精製した N_2 ガス(約1気圧)中、 $1300^\circ C$ で3時間、加熱してつくった。できた粉末は黄褐色で、X-線回折では Th_3N_4 や ThO_2 らは認められず、一相の Th_2N_2O であった(第27図)。

5-3 実験結果と考察

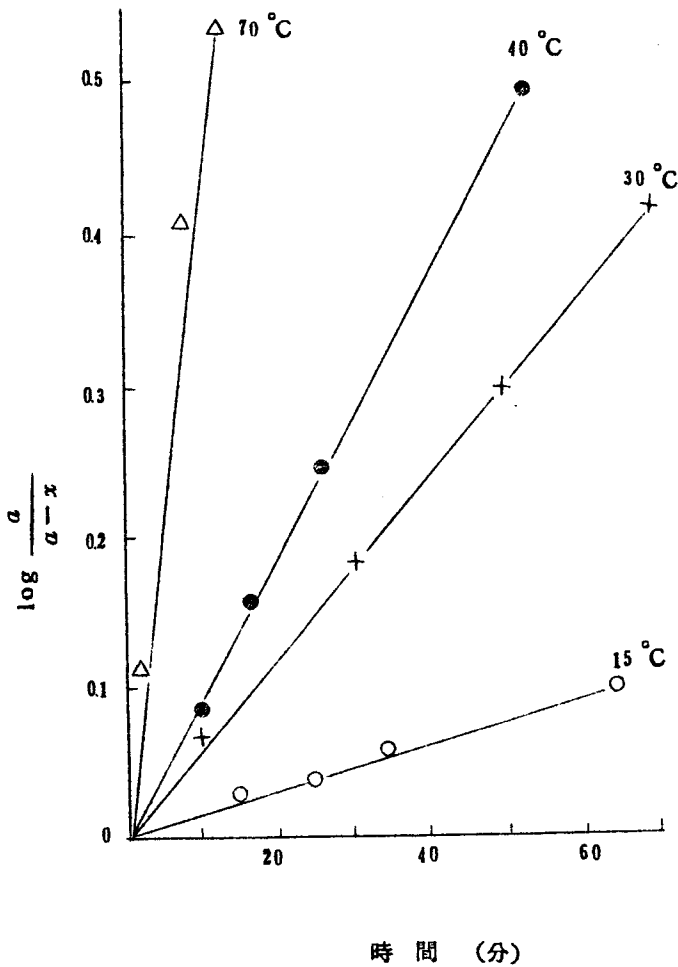
5-3-1 ち化トリウム (ThN, Th_3N_4, Th_2N_2O)

まず ThN の場合、生成ガスは H_2 のみで、溶液中には、 NH_3 が認められた。 NH_3 の生成率について、各温度での時間変化を第28図に示した。これから明らかなように、 ThN は $5^\circ C$ の水とでもかなり反応し、1時間で約10%の NH_3 が生成し、 $70^\circ C$ のときは20分以下で

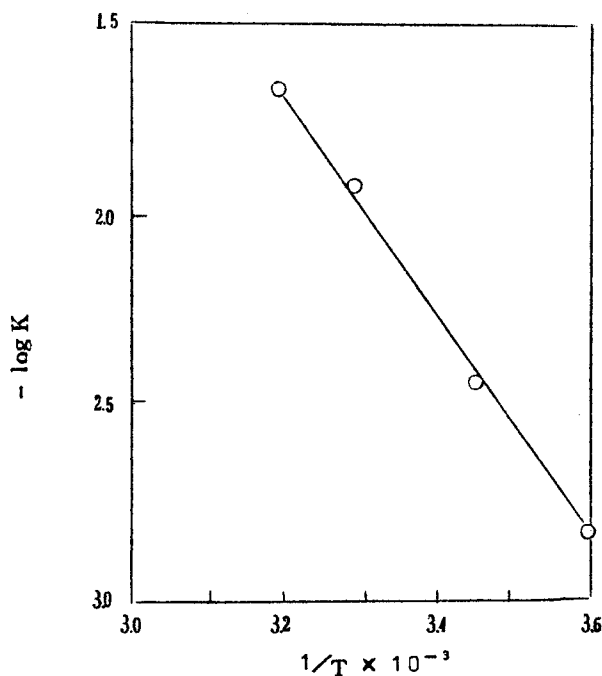


第28図 各温度の水による ThN の加水分解

反応が完了したと考えられる。このThNの各温度での加水分解において、ThNのちっ素がすべてNH₃に変化したとした時の溶液の濃度をaとし、各時間でのNH₃の濃度をxとし、各温度における $\log \frac{a}{a-x}$ を時間に対してプロットすると、第29図のようになる。70°Cの場合を除き、よく直線になるので、この反応は一次反応に近いと考えられる。これから速度定数を求め第30図のようにアレニウスプロットから活性化エネルギーをもとめると15 kcal/molであった。加水分解反応の律速段階がどこにあるかということを決めるのは困難な問題



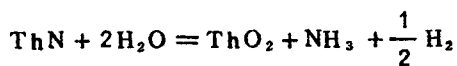
第29図 ThNの加水分解における各温度での時間対 $\log \frac{a}{a-x}$



第30図 ThNの加水分解におけるアレニウスプロット

であるが、Colby, L.J. は⁽³³⁾ UC と 30~86°C の水との反応の実験を行ない、70°Cでの反応速度が $(\text{H}_2\text{O})^{1/2}$ に比例することからUCの加水分解における律速段階はO-H結合が切れる段階にあると推測している。

ThNと水との反応は基本的には次のように書くことができる、



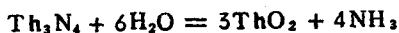
加水分解後の粉末を真空乾そうしてから、X-線回折でしらべると、 ThO_2 の回折線のところに非常にブロードな回折線が得られた(第31図)。

これは生成物が $\text{ThO}_2 \cdot n\text{H}_2\text{O}$ の水和物の形であるためか、あるいは無定形であるためかどちらか分らない。

次に Th_3N_4 の場合、生成ガスは何も認められず、溶液中に NH_3 のみが検出された。このことから次のような反応式が考えられる。

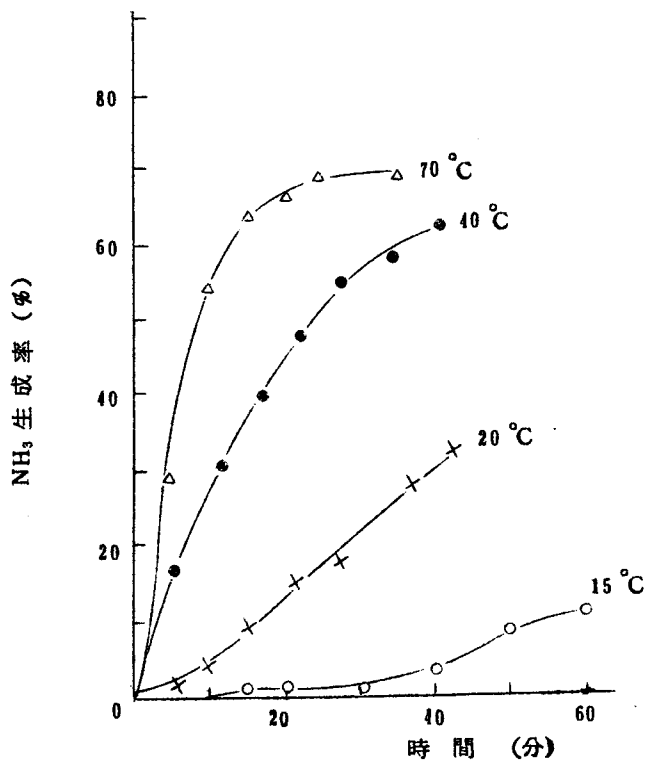
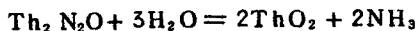


第31図 固体生成物のX-線回折図



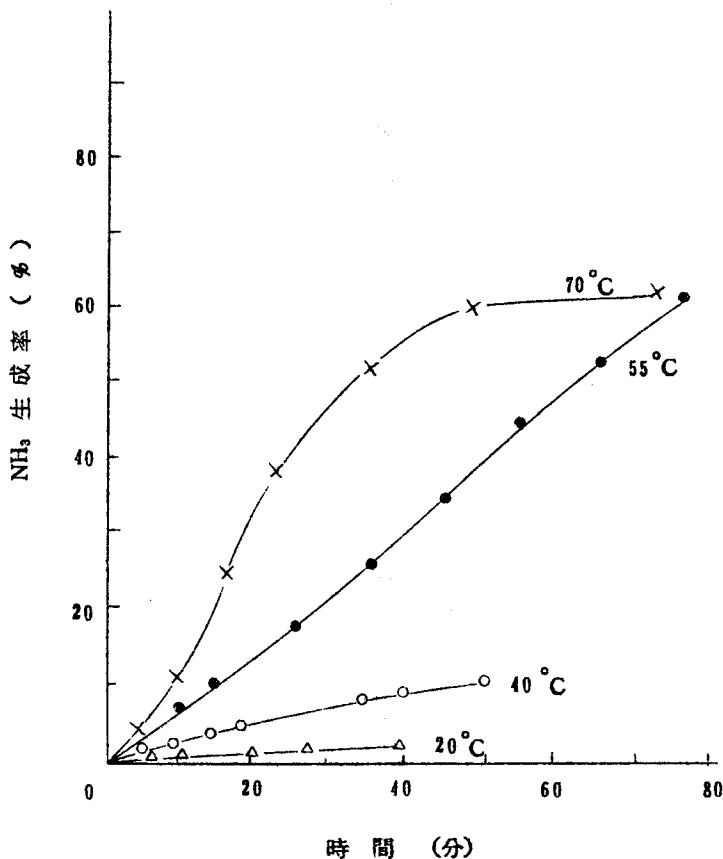
各温度での反応の様子は第32図に示した。この場合は一次反応ではなく、低い温度では初期に反応速度の遅い部分をもったいわゆるS字曲線を示した。

三番目に $\text{Th}_2\text{N}_2\text{O}$ については、生成物は Th_3N_4 と同じように、 NH_3 のみで H_2 は認められなかった。したがって反応式は次のように書くことができる。



第32図 各温度の水による Th_3N_4 の加水分解

この反応経過を第33図に示した。反応の様子は Th_3N_4 の低温の場合と似てS字曲線であったが、速度的には ThN や Th_3N_4 と著しく異なっていた。すなわち $\text{Th}_2\text{N}_2\text{O}$ は ThN や Th_3N_4 らに比べて反応速度がずっとおそく、たとえば 40°C における反応経過を比較すると第34図の様になる。Th-N系において水との反応性が $\text{Th}_2\text{N}_2\text{O}$ において最も小さい理由の一つは $\text{Th}_2\text{N}_2\text{O}$ の分子式からも明らかなように、その格子に酸素原子を含んでいて、その

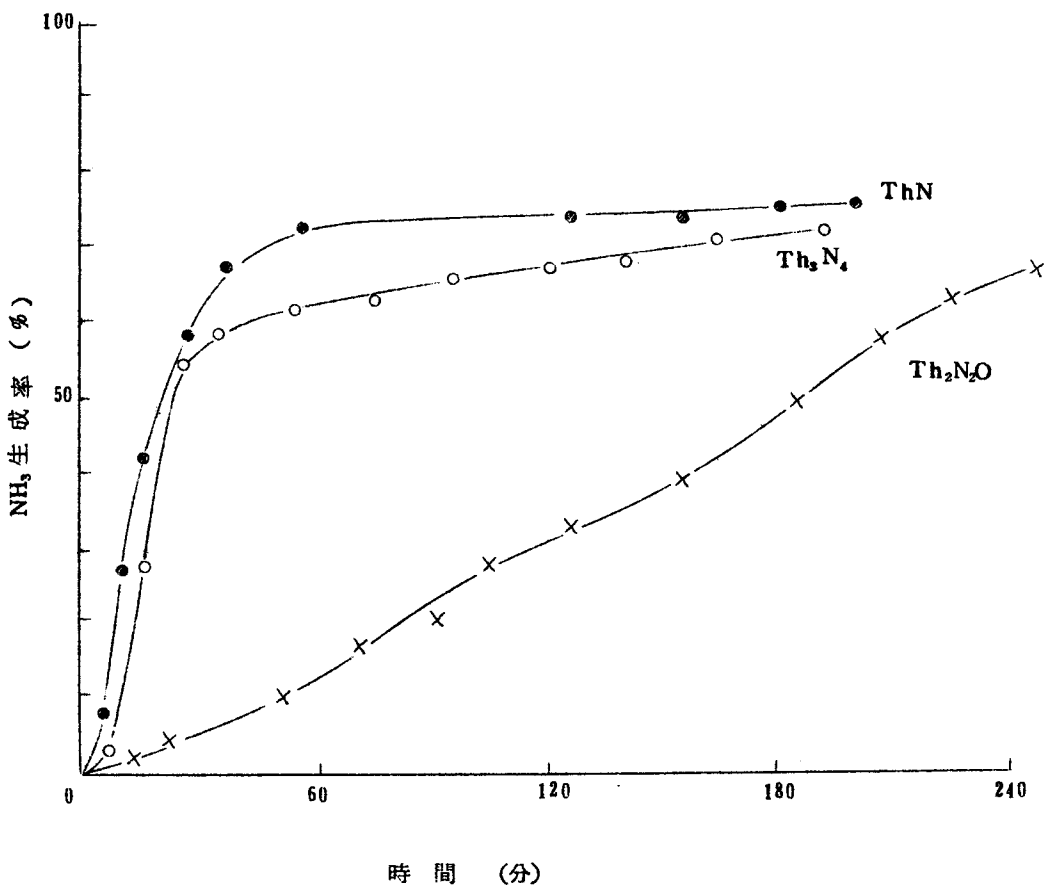


第3.3図 各温度の水による $\text{Th}_2\text{N}_2\text{O}$ の加水分解

酸素原子によって表面に吸着する H_2O との反応がある程度、妨げられるからであろう。

ところでトリウムの高次ちっ化物は以前には Th_2N_3 と考えられていたこともあったが、上の2つの化合物から H_2 が発生しなかったことによって、このような加水分解の点からもこれらの化合物の分子式が Th_2N_3 ではなくむしろ、 Th_3N_4 や $\text{Th}_2\text{N}_2\text{O}$ であることが傍証されうると考えられる。

最後に $\text{ThC}_{0.82}\text{N}_{0.33}$ の水との反応について実験を行なった。加水分解生成物の種類は水の温度には無関係で気体として H_2 、 CH_4 、 C_2H_6 が、溶液中には NH_3 が認められた。アミンはほとんど生成しなかった。一般に $\text{Th}(\text{C}, \text{N})$ は第3章にも述べたように、水との反応性が大きい。たとえば反応速度について検討するために、試料中のちっ素の40%が NH_3 に変化した時点での反応速度を ThN と比較した。まず40°Cの水温との反応では、 $\text{ThC}_{0.82}\text{N}_{0.33}$ の

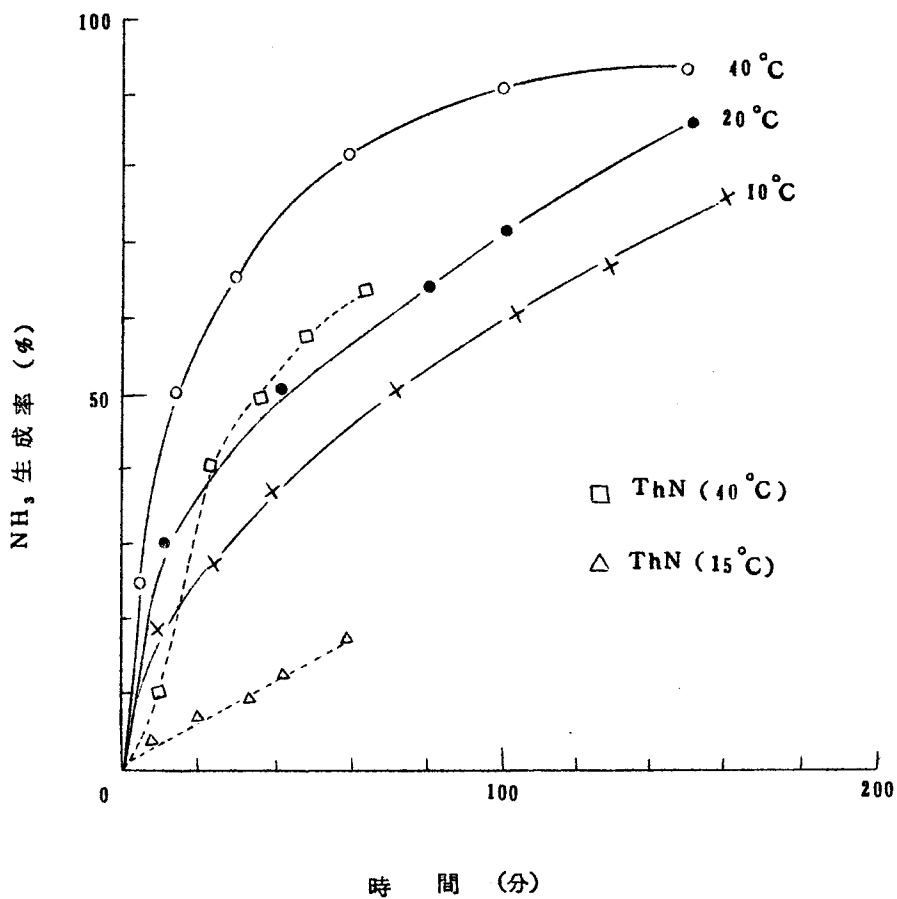


第34図 40°Cにおけるトリウムチッ化物の加水分解

場合に4.0%/分であるが、ThNでは2.0%/分であった。また、20°Cの水温の場合も $\text{ThC}_{0.62}\text{N}_{0.36}$ では、その値は1.6%/分であるが、ThNでは1.48%/分であった(但し30°Cの水温の場合である)。次に10°C、20°C、40°Cでの実験結果を第35図に示し、比較のためにThNの15°C、40°Cの結果も合わせてのせた。この図からもTh(C,N)の水に対する反応性の大きいことが明らかである。

次に加熱水蒸気による加水分解と比較した結果を第10表に示した。なお水蒸気との反応の場合の試料は $\text{ThC}_{0.64}\text{N}_{0.36}$ であった。

水と水蒸気の場合で、生成物の種類は変わらないが、水の場合には、水蒸気の場合と比較して NH_3 が少なく、またアミンはほとんど生成しなかった。またこのために、 H_2 の生成も少なかったものと考えられる。



第35図 $\text{ThC}_{0.42}\text{N}_{0.33}$ と ThN の加水分解

第10表 加熱水蒸気と 40°C の水による加水分解生成物の量の比較
(m mol/g)

	H_2	CH_4	C_2H_6	NH_3	RNH_2
加熱水蒸気 (室温 $\sim 600^\circ\text{C}$)	0.83	2.16	0.11	1.22	0.013
水 (40°C)	0.45	1.67	0.14	0.81	≈ 0

5-4 総括

ここでは100°C以下のいろいろな温度における水と一連のトリウムのもち化物との反応について記した。各化合物別に述べると以下のようになる。

ThN : 生成物はH₂とNH₃で、反応後の固体をX線回折によってThO₂であると確認できないほど回折線はブロードであった。5°Cの水ともよく反応し、反応速度はほぼ一次反応であることが分った。

Th₃N₄ : 気体生成物は何も認められず、溶液中にNH₃のみが認められた。したがって反応式を次のように考えた。



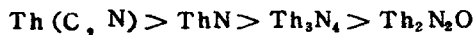
Th₂N₂O : この場合も気体は生成せず、溶液中にNH₃が認められた。したがって反応式を次のように考えた。



Th(C, N) : 気体生成物としてはH₂, CH₄, C₂H₆が、溶液中にはNH₃が認められた。アミンはほとんど生成しなかった。

Th(C, N)の反応性が一般に大きいことはThNと比較することによって明らかにされた。

以上の4種類の化合物の反応性を比較すると、下のような順になり、Th₂N₂Oがもっとも水に対する抵抗性が大きいことが分った。



第 6 章 γ 線照射下での加水分解

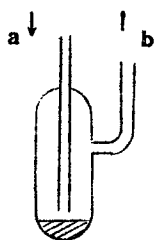
6-1 序節

第 2 章でも述べたように、ちっ化ウランは沸とう水ともあまり反応せず、また炭化ウランは 100°C 近い水であればよく反応する。ところで照射によって水が放射線分解し、化学的に活性な遊離基が生ずると、もっと低い温度でも加水分解がおこることが推測される。また固体試料は放射線のため、ある種の欠陥を生じ、これによって加水分解などの反応性を増すことも予想される。しかし不均一系で、しかも放射線の影響も考慮に入れると、その反応過程は非常に複雑になり、解析が困難である。そこで、加水分解と照射とを分けて実験を行なう方法が考えられる。たとえば、一度照射した試料についてその後加水分解を行ない、固体照射による影響を検討することができる。しかし照射そのものの実験は比較的よくなされているが、その化学反応性への影響についてはあまりしらべられていない。Bradley ら⁽³⁴⁾ は中性子照射した UC の加水分解を行ない、照射したものは 80°C でもよく反応し、また H_2 の生成が非照射のものよりも約 3 倍多かったことを報告している。また最近 Findlay ら⁽³⁵⁾ は (U, Pu) C を中性子照射した後に水および酸で加水分解を行ない、照射しない試料と比較した。それによると、照射の影響は水による加水分解の場合にその反応性に差を生じ、照射した試料は 80°C の水ともほとんど反応しなかった。この結果は先の Bradley らの結果とは反対である。また UC に Pu が入っていることは反応の速度には影響はしなかったが、 H_2 の量を少なくした。その原因が U と Pu の原子価 (U^{4+} , Pu^{3+}) と関連していることが推測されるが、明確ではない。また、burn-up の程度もいろいろと加水分解の挙動に影響するようである。

このように、照射した試料についての加水分解も種々の要因を考慮しなければならない。また、本実験のように照射しながらの加水分解についての解析はさらに複雑さを増すと考えられ、したがってここでは主に定性的な立場からの検討を行なった。

6-2 実験方法

試料は第 2 章で扱ったものを使用した。照射用の容器は第 3 6 図に示したもので約 50 cc の容積である。(a) から約 5 cc の脱空気した蒸留水を入れ、凍結させた後、(a) から粉末試料 (約 4 g) を入れて (a) を封じ、(b) から回転ポンプで容器内を真空にし次に氷をとかしてから照射に供した。



第36図 照射用の容器
(カプセル)

照射線源は C_0^{60} (アメリカ1600 Ci, $100 \times 186 \times 14\%$, 線量率 8.7×10^5 r/hr) で96時間, 室温で照射した。全線量は 8.4×10^7 レントゲンであった。また非照射のものを対照実験として, 照射試料と同様の操作でカプセルをつくり, 室温で放置した。

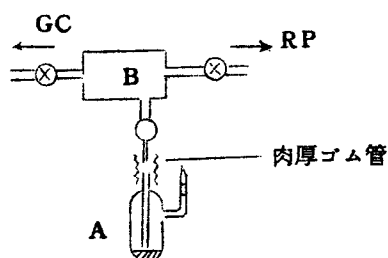
照射後および放置後, 容器を第37図のようにガスクロマトグラフへ連結して生成ガスを分析した。また溶液については定性分析を行ない, 可視-紫外分光光度計も用いた。一方粉末固体はX-線回折でしらべた。溶液の分析のために使った試薬は次のとおりである。

H_2O_2 の検出 : フェリシアン化カリと塩化第二鉄を水に溶かす。 H_2O_2 が存在すると, 緑~青を呈する (0.02 ppm の H_2O_2 の検出可能)。

NH_3 の検出 : ネスラー氏試薬, NH_3 に対して黄~褐色。

N_2H_4 の検出 : p-ジメチルアミノベンズアルデヒド。

なお UO_2^{++} による吸収は可視-紫外スペクトルにおいて $420 m\mu$ の近辺に存在するので, これを UO_2^{++} の検出に用いた。



第37図 照射後の生成気体の分析装置

A ; 反応容器

B ; ガス溜め

GC ; ガスクロマトグラフィ

RP ; 回転ポンプ

6-3 結果と考察

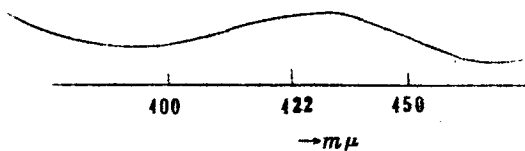
照射に供した試料は UC, UC_2, UN, U_2N_3 であった。生成気体の分布を, 対照実験による生成量を1として第11表に示した。UNに関しては全線が 8.4×10^7 レントゲンで他のものは 3.8×10^6 レントゲンであった。

第 11 表 照射試料からの気体生成物の量と非照射試料からの気体生成物の量との比

	UC	UC ₂	UN	U ₂ N ₃
H ₂	1.1	1.1	1.7 5	1.1
CH ₄	0.3 3	1.3	—	—
C ₂ H ₆	0.1 3	1.1	—	—
CO ₂	1.1	1.7	1.4	3.4
C ₃ H ₈	0	—	—	—

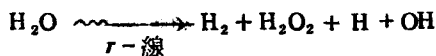
これから明らかなように照射後、どの試料も H₂ が増加した。先に紹介した Bradley や Findlay らの報告においても、照射後の試料の加水分解では H₂ の生成量がふえるといわれている。一方 CH₄ や C₂H₆ などは UC の場合に照射後減少し、逆に UC₂ では増加した。この原因については不明である。また CO₂ はどの試料の場合も増加した。蒸留水のみや反応容器のみの照射では CO₂ は認められなかったので、試料中の炭素あるいは不純物として含まれている炭素に因るものと考えられる。

次に溶液の分析によって認められた生成物は NH₃、H₂O₂、UO₂⁺⁺ であった。UO₂⁺⁺ についての吸収曲線を第 38 図に示した。すなわち、422 mμ の付近に UO₂⁺⁺ による吸収がいく分認められた。



第 38 図 UO₂⁺⁺ の可視-紫外吸収スペクトルグラフ

UN や U₂N₃ では照射の有無によらず、ネスラー氏試薬で黄褐色の沈でんができるほど NH₃ が生成した。また H₂O₂ は照射によってふえることがどの試料の場合にも認められた。一般に H₂O₂ は水から r 線の作用によってできる。すなわち、



次にガスクロマトグラフに現われる酸素の量は試料の量と水の量との比率によって、増加す

ることも減少することもあった。

次に粉末固体は照射後も、その格子定数の変化は認められず、 UO_2 などによる回折線も認められなかった。以上から 10^7 レントゲン程度の放射線量では加水分解への影響は著しいものではないことが分った。しかし UO_2^{++} (VI) が検出されたことや CO_2 が生成したことは水の放射線分解による生成物が試料に対して酸化性に働いたことを意味し、わづかながらも加水分解に対する γ 線の効果を認めることができた (第7章参照)。ここでは γ 線による照射効果のみをしらべたが前述の文献のように中性子照射ではその効果は大きく、また実用的な点からもその知見は重要になってくる。したがって照射下での加水分解については複雑な点が多いが、核燃料の基礎的な性質の一つとして、核燃料の照射試験と共に今後の研究が望まれる。

6-4 総括

第6章では、 UC 、 UC_2 、 UN 、 U_2N_3 などの粉末試料と常温の水とをガラス容器の中へ入れて、 Co^{60} の γ 線により照射し、その後これまでに述べたと同様の方法で、溶液、気体、固体とに分けて分析し照射しない場合と比較して加水分解への影響をしらべた。

まず生成気体に関しては上記のどの試料についても非照射の場合よりも H_2 および CO_2 の生成量は増加した。しかし C_2H_6 や CH_4 などについては、 UC と UC_2 でその結果は異り、はっきりした照射効果は認められなかった。

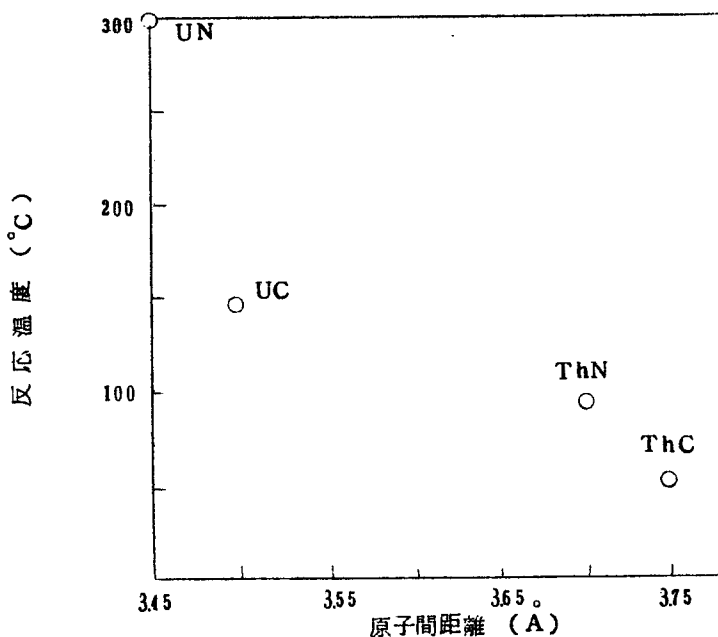
次に溶液の分析により、 H_2O_2 の量はどの試料においても、非照射の場合よりも増加し、 UO_2^{++} については照射による効果がわずかに認められ、 NH_3 については認められなかった。

一方照射下での加水分解後の固体を X-線回折でしらべたが、格子定数の変化は認められず、また UO_2 による回折線も認められなかった。これらのことから、加水分解に対する γ 線の効果は加水分解を促進するという点ではほとんど認められなかったが、生成物の種類の点ではいく分認めることができた。

第 7 章 考 察

7-1 反応性

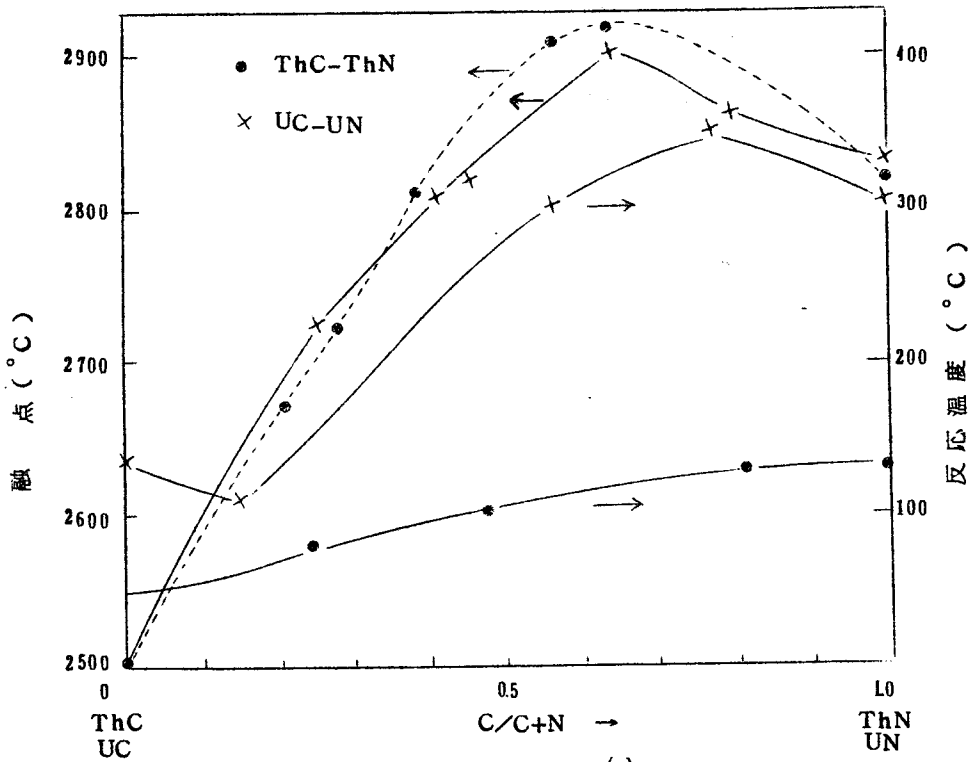
本実験で扱ったウランとトリウムそれぞれの炭化物やちっ化物などを全体を通して、反応性を検討すると、トリウム化合物の場合は $\text{ThN} \rightarrow \text{Th}(\text{C}, \text{N}) \rightarrow \text{ThC}$ の順に、またウランの場合は $\text{UN} \rightarrow \text{U}(\text{C}, \text{N}) \rightarrow \text{UC}$ の順に反応性が大きくなる。この傾向は各組成の固溶体においても成立している。すなわち、 $\text{MC}_{1-x}\text{N}_x$ において x が小さくなるほど、言いかえれば、炭化物に近いほど反応性が大きくなる。ところで反応性の一つの目安と考えられる反応温度を、ここでは次のように定めてみる。すなわち、加水分解において室温から温度を一定速度で上げてゆき、水蒸気との反応によって生じる生成物、たとえばちっ化物ならば NH_3 が、また炭化物ならば CH_4 がもっとも多く生成する温度を反応温度と名付ける。ただし ThC は $\text{ThC}_{0.76}\text{N}_{0.24}$ の場合からの推測である。そこで反応温度と結晶における金属-金属原子間距離との関係を ThC , ThN , UC , UN の4つの化合物についてしらべると、第39図のようになる。これから原子間距離が大きいほど



第39図 トリウムとウランのそれぞれの炭化物とちっ化物における
原子間距離と反応温度

反応温度が低い，すなわち反応性が大きいことが分る。なお粉体の粒度や加熱速度などによってこの値はおそらく変ると考えられるが，本実験においては粒度は100～200メッシュで，また加熱速度は5°C/分で，どの試料の場合もほとんどこれらの差による影響を無視できる。

次にこれらの化合物の反応性を別の観点からしらべる。Benz が行なったU(C, N)とTh(C, N)の融点に関する実験⁽¹⁵⁾に見られるように，どの組成のものでも，この2種類の固溶体の融点は余り差がない(第40図)。従って，金属-金属や金属-非金属間の結合力はウランと



第40図 固溶体の組成による融点の変化⁽¹⁵⁾と反応温度の変化

トリウム系の固溶体では，同じ位であると考えられる。ところが，加水分解ではU(C, N)とTh(C, N)では，その反応温度にかなりの差が現われた。(U(C, N)とTh(C, N)の一部について，第13表に反応温度をまとめた)

第13表 U(C,N) と Th(C,N) の反応温度

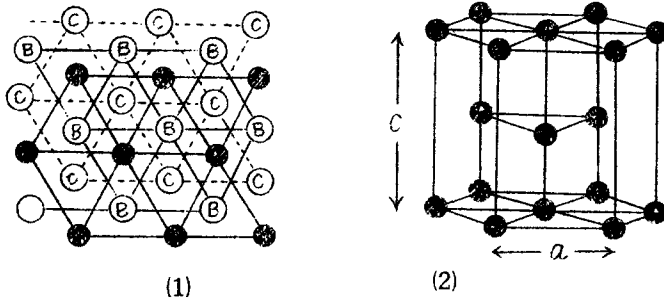
固溶体	反応温度	固溶体	反応温度
UC _{0.22} N _{0.78}	300 °C	ThC _{0.19} N _{0.81}	150 °C
UC _{0.33} N _{0.67}	300 °C	ThC _{0.53} N _{0.47}	130 °C
UC _{0.81} N _{0.19}	100 °C	ThC _{0.76} N _{0.24}	90 °C

すなわち、全般にU(C,N)の反応温度はTh(C,N)のそれよりも高かった。このことは融点のように外部からの他物質による相互作用のない場合とちがって加水分解では、結晶表面に吸着されたH₂Oとの反応が問題になることを意味する。ここで、これらの加水分解の反応性を熱化学的な点から考察してみよう。H₂Oにおける1つ目のOHが切れる結合解離エネルギーは119.9 kcalで、次にOH→O+Hが101.2 kcalである。もし加水分解の初期段階において、H₂O→H+H+Oがおこるとするならば119.9+101.2=221.1 kcalのエネルギーがその解離に必要である。ところでThCからThO₂への自由エネルギー変化は-273.6 kcalで、UCからUO₂へのエネルギー変化は-235.9 kcalである。したがってトリウムもウランも酸化物になるときのエネルギーはH₂Oの構成元素への解離にほぼ匹敵している。しかしエネルギーのバランスを考えると、トリウムの場合は52.9 kcalだけが余り、ウランの場合は14.8 kcalだけ余ることになるが、トリウムの場合に比べて少ない。したがって、トリウムの炭化物の方がウランの炭化物に比べて加水分解されやすいと推測される。ちっ化物においても同様のことが考えられるが、ThNの生成自由エネルギーがまだ測定されていないため、同様の計算はここではできなかった。

7-2 固体生成物と結晶構造

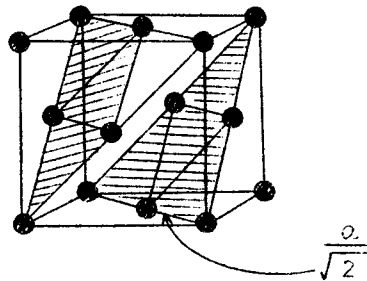
加水分解反応を生成物の点から考察するのも興味がある。以下ではちっ化物に関して、トリウムとウランとを比較しながら検討する。加水分解反応による固体生成物はUNの場合にはU₂N_{3+x}やUO₂(N)であったが、前述したように、ThNでは、このような生成物は認められなかった。このことは、おそらく結晶構造と関連しているものと考えられる。この点をもう少し詳しくしらべるため、まずThNからTh₂N₂Oへの結晶構造の変化について考える。六方晶の(001)面の原子は面心立方晶の(111)面における原子と同じように詰っている。ところで、Th₂N₂Oにおいて、c軸方向の原子の位置はThがA=0.24とB=0.76で、NがA=0.63、またOが

$C=0$ である。したがって層間きよりは第14表に示したようになり、ThについてはABAB ABのくり返しである(第41図)。一方、ThNは岩塩型であるから、Thについては面心立方構造であり、これを(111)面からみると、ABCABCABCのくり返しとなる(第42図)。また、第14表の第4欄に、ThNの格子定数を六方晶に直した値を示した。これから明らかのように、 a 軸方向の膨脹、 c 軸方向のThのわずかな移動があるが、これらを見捨てても、 $A \rightarrow B$ 、 $B \rightarrow C$ などの移動が必要になる。そこでTh原子を考えてみると、ABCABCからABABAB



第41図 六方最密構造

(1) つみ重ね (2) 単位胞



第42図 面心立方構造, 最密(111)面

第14表 ThNからTh₂N₂Oへの格子定数からみた変化

	Th ₂ N ₂ O (Å)	ThN (Å)	ThN を Th ₂ N ₂ Oへ 換算した時 (Å)	膨脹(a軸) 移動(c軸) (Å)
a	3.88	5.16	3.65	0.23
c	6.18	5.16	2.98	
	3.22 (B→A)			0.14 (B→A)
	2.96 (A→B)			0.02 (A→B)

へと6層のうち、4層まで、その層のすべてのTh原子が少なくとも 2.1 \AA ずつ ($3.65 \times \sqrt{3} / 2 \times 2/3$)、動かなければならぬ。以下に示すようにTh₂N₂Oでは、c軸の長さは層間隔の2倍であり、Th₃N₄ (菱面体晶) ではc軸は層間隔の9倍である。さらにTh₃N₄のa軸と層間隔はTh₂N₂Oの構造によく似ている。

第15表 Th₂N₂OとTh₃N₄の格子定数

	Th ₂ N ₂ O	Th ₃ N ₄
a ₀	3.88 Å	3.87
c ₀	6.18	27.39
	= 2 × 3.09	= 9 × 3.04

したがって、Th原子の最少限のc軸方向の移動、a軸方向の格子の膨脹は同じ位と考えられる。

一方U₂N₃はMn₂O₃型で、Uの位置は面心立方晶における位置とほとんど変わらない。U₂N₃の格子を考えてみると、 $u=0.03$ とすると、一部のUは 0.32 \AA (10.7×0.03) だけ動けばよい。

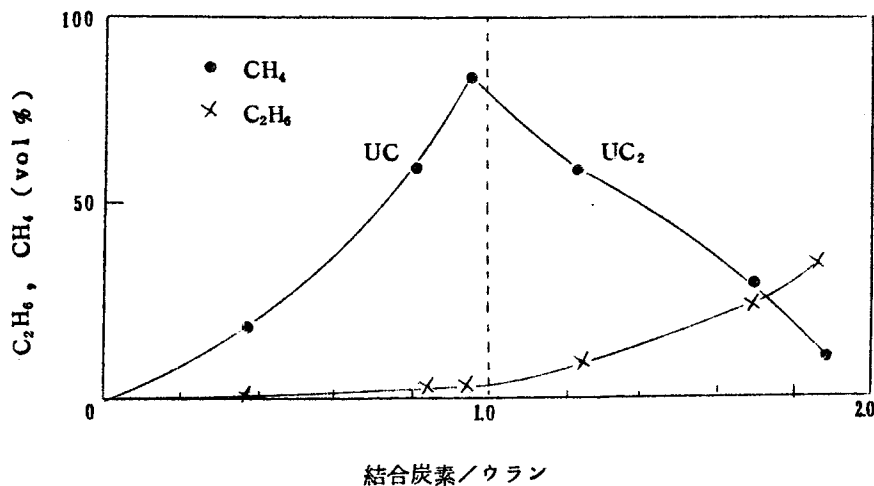
7-3 気体生成物と結晶構造

加水分解生成物において、結晶中の結合状態があらわれている化合物として、まずUC₂が挙げられる。すなわちUC₂は体心立方の構造をもち、その中で炭素はC-C対をなしており、この結合距離が 1.34 \AA で、アルケン (C=C) のそれに近い値である。したがって、加水分解生成物も第16表に示したようにアルケンがUCの場合よりもかなり多い⁽¹⁹⁾。

第16表 UCとUC₂の加水分解生成物における炭素の分布

	UC	UC ₂
アルカン (C _n H _{2n+2})	85.5%	64.6%
アルケン (C _n H _{2n})	5.0	16.8

さらに結合距離の考えでいくと、U₂C₃におけるC-C結合距離が1.30 Åで上述したUC₂の場合によく似ている。したがって加水分解の生成物も類似していると考えられるが、実際にはその通りであることが報告されている⁽¹⁾。またFerrisらのデータ⁽²⁾から結合炭素に対してC₂H₆とCH₄とのvol%をプロットすると第43図のようになる。この図から明らかなように、結合



第43図 加水分解生成ガスの相による変化⁽²⁾

炭素とウランの比が1をこえるとCH₄が減少し、C₂H₆がふえる。これは格子に入る炭素がC-C対をつくっていくためと考えられる。しかしUC₂やU₂C₃からもCH₄が生成されることについては少し問題がある。これについては加水分解中にC=Cの分解はおそらくあり得ないから、CH₄の生成は格子中にいく分UCが不純物として存在しているためであろうとの考えもある。しかし実際に生成するCH₄の量は不純物として存在するUCから生成するものよりもずっと多いから、この説もそのままとるわけにはいかない。したがって炭化物中の炭素が結合したものか自由

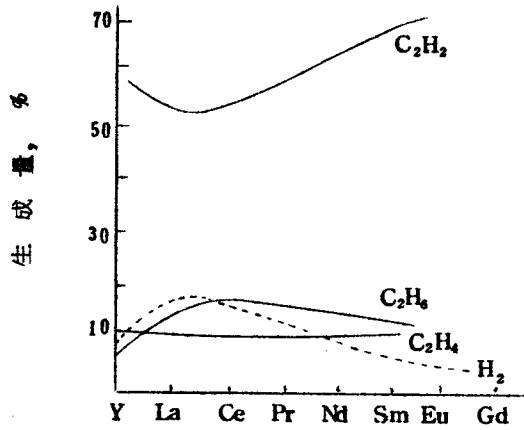
なものかということも新たな疑問として生じてくる。

炭化物については、ウランやトリウム以外の他の金属の化合物もよく研究されている。たとえば、アルカリ、アルカリ土類の炭化物の加水分解に関しては Schmahl⁽⁴³⁾ がすでに報告し、それによると、 $(Ca, Sr, Ba, Mg, Be)C_2$ 、 $(Li, Na, K, Rb, Cs)_2C_2$ 、二炭化ランタニドなどからは C_2H_2 が生成する。これらはいわゆる CaC_2 型の結晶構造をもち、したがって格子中に $C-C$ 結合をもっている。ところが ThC_2 の場合は c 軸方向に $C-C$ グループをもっていないし、また $C-C$ 距離も一定ではなく、 $1.45 \sim 1.59 \text{ \AA}$ の幅があり、エチレン型、エタン型、アセチレン型などと称される C_2 グループをもっている。さらに Schmahl によると、 Be_2C からは CH_4 、 Mg_2C_3 からは $CH_3-C \equiv CH$ が生成する。この後者の場合は、格子中に $C-C-C$ 結合が存在することによるものであるとされている。また Schmidt⁽⁴⁴⁾ は Fe や Ni などの炭化物の加水分解についても言及し、炭化鉄の場合、 Fe イオンによって、生成物である炭化水素の分解や水素化が進められ、反応が複雑になるが、主な生成物は CH_4 で、 C_2H_2 は生成しないと述べている。これは Fe や Ni の炭化物の結晶構造において、炭素はたがいに離れて存在し、 $C-C$ 結合をなしていないことによるものである。

次に希土類の二炭化物の加水分解については今までにも多くの研究がなされてきている⁽²⁹⁾⁽⁴⁵⁾ (45) ~ (48)。たとえば、KOCOLA π OBA⁽⁴⁹⁾ らによると、これらの化合物が C_2H_2 を生成するのは MeC_2 (Me は希土類金属) において、 Me と C との結合が C と C との結合よりもずっと弱く、したがって加水分解に際して $Me-C$ の結合が切れることによるものとしている。さらに、これらの結合の強さを希土類元素の電子構造に関連づけ、 $5d$ と $4f$ とのエネルギーレベルが近いから、電子の $f-d$ 移動が可能で、それが $Me-C$ 結合の強さに関与していると述べているが、明確な根拠にもとづいているものではない。

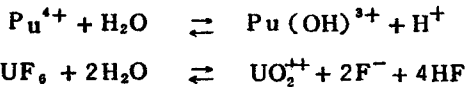
さらに MAKAPENKO⁽⁴⁶⁾ は次のような見解を述べている。希土類金属の炭化物の $C-C$ 結合の長さは二重結合と三重結合との中間的な距離であって、二炭化物の単位胞は 2 つの MeC_2 分子から成っている。その際、2 つの金属原子において、その 6 つの価電子が $(C \equiv C)^{2-}$ と $(C=C)^{4-}$ との共鳴状態にある。このようなモデルは炭化物の加水分解の性質を確かに説明できる。すなわち、希土類の二炭化物では、加水分解生成物は 60% 近くが C_2H_2 で約 10% が C_2H_4 、約 15% が C_2H_6 などである。しかしながら、電気的性質は上のモデルでは説明できないと彼は述べている。また二炭化ランタニドからの加水分解生成物の量の原子番号に対する特徴的な変化は見られなかった。すなわち周期律表における横の関係は明らかではない。たとえば KOCOLA π OBA⁽⁴⁹⁾ らの結果を第 4 4 図に示した。

第44図 二炭化希土類
の加水分解に
よる気体生成
物の量の各元
素による変化

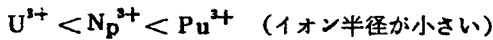


このように炭化物の構造とその加水分解による気体生成物との関係についてはいろいろの意見があるが、主としてC-C間の原子間距離を中心として議論が行なわれている。ここでは少しちがった見方でこの問題を考えてみよう。

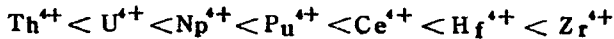
一般に高い電荷をもった陽イオンは加水分解をおこす傾向をもっている⁽³⁷⁾。たとえば、



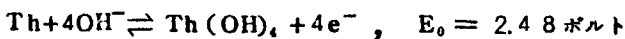
すなわち陽イオンの電荷の増加およびイオンの大きさの減少によって、 H_2O 分子からプロトンを追出す傾向は大きくなる。したがって同じ荷電数でも、イオンの大きさが減少するほど、酸化作用が強い。たとえば、次のようになる。



このことは4価のイオンについても成り立ち、次のとおりである。

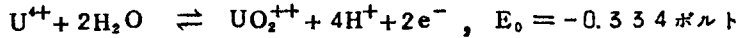


ちなみに、トリウム⁽³⁸⁾の酸性および塩基性溶液中の酸化還元電位は次のとおりである。

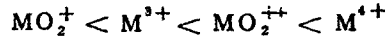


またウランの場合は次のとおりである。





また一つの金属Mでいろいろな酸化状態をもっているものにおいては、酸化力の強さは一般に次の順序になる。



したがって定性的には M^{3+} は M^{4+} に比べて酸化されやすいといえる。しかし相手を加水分解する強さは溶媒の酸化力の強さにも依存している。ここで、UCの加水分解と酸化-還元電位との関係についてしらべたMukaiboらの研究⁽³⁹⁾は興味がある。すなわち、 $Ni^{2+} + 2e^{-} \rightarrow Ni$ の酸化-還元電位は-0.26ボルトであり、この Ni^{2+} 溶液中でのUCの加水分解ではウランは U^{4+} になっている。一方 Cu^{2+} や Ag^{+} の酸化-還元電位はそれぞれ、+0.312と+0.711であり、その溶液中で加水分解されたUCは U^{6+} まで酸化される。そこで、加水分解生成物に注目してみると、後者の系では Ni^{2+} 中での加水分解に比べて、炭化水素の生成が著しく少なく、Cは主として CO_2 に変化している。このことは第6章で述べたr線照射下における加水分解の傾向と一致している。すなわち、照射下においては加水分解によって、特に UO_2^{2+} と CO_2 の生成が認められたが、これは水の放射線分解が酸化-還元電位の高い金属イオンを含む液とよく似た結果を持つことを意味している。また彼らのデータから、酸化力の比較的小さい Ni^{2+} (-0.266ボルト)と Fe^{2+} (-0.455ボルト)の場合について、 $CH_4 / C_2 \sim C_5$ を求めると、それぞれ30.6と60.5で、高次炭化水素がかなり還元されたのではないかと考えられる。したがってウランは U^{4+} から U^{6+} へといく分変化しているであろう。ところが酸化力の比較的強い Cu^{2+} (+0.312V)や Sn^{2+} (-0.208V)などの場合について $CH_4 / C_2 \sim C_5$ を求めると、それぞれ9.5と11.5で前者のグループと比較してそれほど高次炭化水素の還元は進んでいないと考えられる。次にこれと関連して、溶媒を変えた場合について検討してみた。

UCを酸化作用の強い硝酸に溶かすと、生成ガスはほとんど C_2H_2 や C_2H_4 で CH_4 や C_2H_6 は少ない⁽⁴⁰⁾。これはおそらく、ウランの原子価の変化の点から説明されるであろう。すなわち、ウランは低い原子価から高い原子価状態へ硝酸によって酸化される。したがって加水分解のはじめに、不飽和炭化水素である C_2H_2 が生成されると、それ以上還元されない。ところが、酸化性でない溶媒にUCを溶かすと、ウランが安定な高い原子価へ変化するためには C_2H_2 が還元されることが必要である。したがってこの場合には、 C_2H_2 よりむしろ CH_4 や C_2H_6 が生じると考えられる。

7-4 総括

第7章では、本実験に用いたウランやトリウムの化合物を中心としてこれらの化合物の加水分解反応性、固体生成物と結晶構造との関係、さらに気体生成物と結晶構造との関係について考察した。

加水分解において、その反応性は反応温度や生成率から $\text{ThC} > \text{ThN} > \text{UC} > \text{UN}$ の順に小さいことが明らかになった。この結果については、これらの結晶格子中における原子間距離が考察の一つの焦点になった。すなわち、上の順で右側ほど金属-金属などの原子間距離は小さい。また特に炭化物については、トリウム炭化物の方がウラン炭化物よりも反応性が大きいという結果が自由エネルギーに関する考察からも説明された。

次に加水分解によって生成した固体生成物はウランとトリウムの化合物では異なっていることが明らかにされた。すなわち、UNからは U_2N_{3+x} のような高次窒化物が生成したが、ThNからはその高次窒化物の一つである Th_3N_4 は生成しなかった。この結果はこれらの窒化物の結晶構造とおそらく関連しているものと考えられた。

最後に生成物のうち、気体と結晶構造との関連性が述べられた。すなわち酸化還元電位に関する他のデータからウラン化合物の加水分解反応を考察し、放射線下における加水分解において CO_2 が生成した事実が水の放射線分解生成物によるものであることを明らかにした。

第 8 章 総 括

本研究は核燃料として使用され、また今後、使用され得る可能性をもつウランやトリウムのおっ化物および炭おっ化物の化学的性質を知る目的で行なわれた。すなわち、水や水蒸気との反応によって生じる生成物を定性、定量分析することによって、これら化合物燃料の性質の一面を知ることができた。

まず第 1 章ではウランおっ化物の加水分解について述べたが、UN や U_2N_3 の加水分解では、単純に UO_2 になってしまうのではなく、反応の途中において、高次おっ化物 U_2N_{3+x} やおっ素酸化物 $UO_2(N)$ などが生成したことが第 1 の特徴である。また N_2 ガス中での加水分解は興味があり、この反応によって、 NH_3 の量が He ガスがキャリアーの場合の加水分解よりも増加した。これに伴ない固体中へのおっ素のとり込みが少なかったことが X-線回折による格子定数の変化や固体生成物の熱分解の結果から分った。ところが第 3 章で述べたように、ThN の加水分解では Th_3N_4 (菱面体晶) や Th_2N_2O (六方晶) などの化合物は生成されなかったし、また N_2 ガス中での加水分解においても NH_3 の増加は認められなかった。高次おっ化物などが生成しなかったことは加水分解後の固体の熱分解によってほとんど N_2 が発生しなかったことや X-線回折によって Th_3N_4 などによる回折線が認められなかったことなどから確認された。また反応性は ThN の方が UN に比べて著しく大きいことが分った。

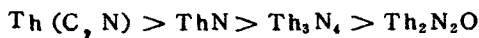
次に第 2 章では、UN と UC との固溶体である $U(C, N)$ についての実験に関して述べ、加水分解生成物としてアミンすなわち、C-N や C-C-N などの結合をもった化合物が認められたことを明らかにした。これは固溶体の加水分解における特徴である。つまり UN と UC とを単に混合した粉体の加水分解からはアミンは生成されなかった。一方 Th(C, N) の加水分解の際には、アミンの生成量が著しく少なかったが、これは Th(C, N) における C-N の原子間距離が U(C, N) のそれよりも大きいことが関係しているのではないかと考えられる。なお、アミンは $U(C, N)$ 、 $Th(C, N)$ のどちらの場合も C/N \approx 1:1 の固溶体から最も多く生成された。

また H_2 の生成量に注目すると、固溶体の加水分解における第 2 の特徴が分る。すなわち、U(C, N) の場合、 H_2 の量の固溶体の組成による変化は C/N \approx 1:1 でピークを示したが、Th(C, N) では $ThC_{1-x}N_x$ における x と共に増加した。この事実は U(C, N) の場合は NH_3 の他に C_2H_6 や RNH_2 などの生成量が多かったので、 H_2 の量もこれらの量に応じて変

化したことによる。ところが、Th (C, N) の場合はNH₃, CH₄ 以外の生成物はきわめて少なく、H₂ の量はほとんどNH₃ の量と共に単調に変化した。またU (C, N) の加水分解ではUCの場合よりもC₂H₆ が多く生成したことも特徴の一つであった。

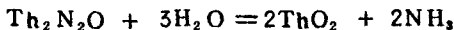
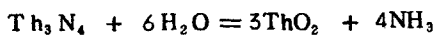
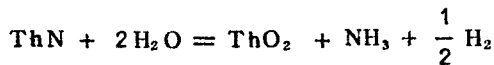
次に反応性はU (C, N) もTh (C, N) もUC, ThCに近い組成をもつものが大きいことが分った。また炭化物やちっ化物においては、トリウム化合物の方がウラン化合物よりも反応性は大きかった。以上の点から同じ岩塩型の結晶構造でも、加水分解における挙動はトリウムの化合物とウランの化合物とはかなり異なっていることが分った。

次に同じトリウム化合物の中でも、どの程度、反応性が異なるかを検討することは興味がある。第5章では、ThN, Th₃N₄, Th₂N₂O, Th (C, N) ちと100 °C以下の水との反応を行ない、NH₃ の量を追跡して速度論的な点から、反応性をしらべた。この結果、ThNと水との反応はほぼ一次反応であり、5 °Cの水とでも充分に反応することが分った。またTh₃N₄ やTh₂N₂Oは低い温度のときには、S字曲線の傾向が見られた。反応性の大きさは次のとおりである。



すなわち、Th-N系ではTh₂N₂Oが最も水に対する抵抗性が大きいことが分った。

次に生成物の点からみると、ThNやTh (C, N) では生成気体として前者からはH₂のみ、後者からはH₂, CH₄, C₂H₆などが認められた。このことから次のような反応がおこっていると考えた。



第6章においては、UC, UC₂, UN, U₂N₃らのr線照射下における水との反応をしらべた。その結果、H₂O₂, UO₂⁺⁺, H₂らは炭化物においてもちっ化物においても認められた。またX-線回折による分析では、試料の格子定数は変化していなかった。結局10⁷レントゲン程度のエネルギーでは、加水分解への影響は著しいものではなかった。適当な核燃料を見出すためには、もちろんこのような反応性をしらべるだけでは不十分であるが、重要な要素の一つでもある。実用性の点から考えると、加水分解とくに加熱水蒸気による腐食の問題を拡大して、気体との化学反応という観点で、N₂, O₂, CO, CO₂ガスなどとの反応性について研究することも今後、必要と思われる。

第7章では、加水分解をまず、反応性の点から検討した。ウラン、トリウムの炭化物およびち

っ化物において、ちっ化物の方が反応性が小さいことが分った。このことは炭ちっ化物においても成り立っていて、ちっ素の多い固体ほど反応性が小さかった。また、この事実を炭化物の場合について熱化学的な点からも推測した。

次に加水分解による固体生成物と結晶構造の点からも考察を行った。すなわち、UNの加水分解生成物として U_2N_{3+x} のような高次チッ化物が生成されたが、ThNから、たとえば Th_3N_4 などは生成されなかったことを結晶構造の変化のしやすさに注目して検討した。

また、加水分解による気体生成物と結晶構造の点から考察を行い、UCや UC_2 あるいは希土類の炭化物の加水分解について、これらの原子間きよりと生成物との関連性を述べた。また、金属の原子価状態から、それと気体生成物といく分、関連性があることがわかった。

本実験において行われたような反応においてはその解析に際して困難が多かった。すなわち、反応というものマクロな面と共に、ミクロな面も含んでおり加水分解の結果知る事実はずでにマクロなものである。したがってそれから、どの程度細かい点まで言い得るかがむずかしい。すなわち、普通の分子やイオン結晶のように加水分解などの反応も微視的には主に価電子の振舞いとして考えられるが、ここで扱ったような金属化合物になると、そのバンド構造（とくに表面における）についての知見も反応をさらによく理解するために必要であると考えられる。

ここで扱った化合物の加水分解は、また別の面から興味があると思われる。つまり無機物であるウランやトリウムの炭素、ちっ素などの化合物と水との反応から、メタン、アミン、などの有機物あるいはアンモニアなどが生成することである。これらの有機物は地球誕生の頃の初期的な物質であったことが推測されているが、これら、シアンやメタンなどを水蒸気中、紫外線下で反応させ、これから簡単なアミノ酸を実験室的につくることができる。したがって、こうした、さらに高度な有機物が自然界で全くの無機物から生成する可能性が推測されるが、これには、ウランやトリウムが放射性物質であることが関係しているかも知れない。アクチニドの化学にはまだ、深遠なものがあり、今後こうした方面からの研究も期待される。

最後に、本研究を行う上において、懇切かつ有益な御指導を賜りました井本正介教授に心から感謝の意を表します。

また、本論文に対し、有益な御教示を載きました佐野教授、品川教授、堤教授に深く謝意を表します。

さらに、本研究を行うにあたり、いろいろと御援助を載きました井本研究室の諸兄に感謝します。

発表論文

1. **Hydrolysis of Uranium Nitrides**
S. Sugihara, S. Imoto.
J. Nucl. Sci. Techn., 6, 237 (1969)
2. **Hydrolysis of Uranium Carbonitrides**
S. Sugihara, S. Imoto.
J. Nucl. Sci. Techn., 7, 67 (1970)
3. **Hydrolysis of Thorium Nitrides and Carbonitrides**
S. Sugihara, S. Imoto.
J. Nucl. Sci. Techn.
(投稿準備中)

学会講演

1. 杉原, 井本: 日本原子力学会 年会 (1966年春)
ちっ化ウランの加水分解 (I)
2. 杉原, 井本: 日本原子力学会 核燃料材料分科会 (1966秋)
ちっ化ウランの加水分解 (II)
3. 杉原, 井本: 日本原子力学会 年会 (1967年春)
UC-UN 固溶体の加水分解 (I)
4. 杉原, 井本: 日本原子力学会 年会 (1968年春)
UC-NU 固溶体の加水分解 (II)
5. 杉原, 井本: 日本原子力学会 年会 (1969年春)
ちっ化トリウム²³²の加水分解
6. 杉原, 井本: 日本原子力学会 核燃料材料分科会 (1969年秋)
炭ちっ化トリウム²³²の加水分解 (I)
7. 杉原, 井本: 日本原子力学会 年会 (1970年春)
炭ちっ化トリウム²³²の加水分解 (II)

参考文献

- (1) BMI-1272 (1958).
- (2) Imoto, S., Stöcker, H.J. : "Thermodynamics" IAEA, Vienna, 553 (1966).
- (3) Baudin, G., Besson, J., et al. : Comptes Rendus, 254, 4179 (1962)
- (4) Bradley, M.J., Ferris, L.M. : Inorg. Chem., 1, 683(1962).
- (5) Benz, R., Bowman, M.G. : J. Am. Chem. Soc., 88, 264 (1966).
- (6) Price, C. E., Warren, I.E. : Inorg. Chem., 4, 115 (1965).
- (7) Berthold, H. J., Deliehausen, C. : Angew. Chem., 78, 750 (1966).
- (8) Lapat, P.E., Holden, R. B. : "Compounds of Interest in Nuclear Reactor Technology", AIME, 225 (1964) .
- (9) Counsell, J.F., Dell, R.M., Martin, J.F. : Trans Faraday Soc., 62, 1736 (1966).
- (10) Jefféry, P. G., Kipping, P.J. : "Gas Analysis by Gas chromatography", Pergamon Press (1964).
- (11) Dell, R. M., Wheeler, V. J. Bridger, N. J. : Trans Faraday Soc., 63, 1286 (1967).
- (12) Baker, M. M., Less, L. N., Orman, S. : Trans Faraday Soc., 62, 2513 (1966) .
- (13) Thermodynamics of Nuclear Materials, IAEA Vienna, pp. 286~330 (1968) .
- (14) Ondracek, G., Petzow, G. : J Nucl. Mat., 25, 132 (1968).
- (15) Benz, R. : J Nucl. Mat., 31, 93 (1969).
- (16) 実験化学講座 23, 生物化学 I pp. 232 (1964) .
- (17) 森五彦, 小林茂三郎 : "河紙電気泳動の実際" 南江堂 (1961) .
- (18) Besson, J., Blum, P., et al. : HL 63/5209 Symp. on Carbides in Nucl. Energy.
- (19) Kempster, C.P. : J. Less Common Metals 4, 419 (1962).

- (20) Gerds, A.F., Mallett, M.W. : J. Electrochem. Soc., **101**, 175 (1954).
- (21) Benz, R., Hoffman, C.G., Rupert, G.N. : J. Am. Chem. Soc., **89**, 191 (1967).
- (22) Auskern, A.B., Aronson, S. : J. Phys. Chem. Solids **28**, 1089 (1967).
- (23) Benz, R., Zachariasen, W.H. : Acta Cryst. **21**, 838 (1966).
- (24) Kempter, C.P. : J. Less Common Metals **4**, 244 (1962).
- (25) 菅野出, 可知祐次 : 日本化学会誌 **83**, 565 (1962).
- (26) "Progress in Nuclear Energy, Series V Metallurgy and Fuels vol. 1" pp.241 London Pergamon Press (1956).
- (27) Brown, F., Ockenden, H.M., Welch, G.A. : J. Chem. Soc., 4196 (1955).
- (28) Allubut, M., Dell, R.M. : J. Nucl. Mat., **24**, 1 (1967).
- (29) Matignor, C., Delepine, M. : Ann. Chim. Phys., **10**, 130 (1907).
- (30) Zachariasen, W.H. : Acta Cryst. **2**, 388 (1949).
- (31) Benz, R. : J. Am. Chem. Soc., **89**, 197 (1967).
- (32) Von R. Juza, Gerke, H. : Ztschr. für anorg. und allgem. chem. **363**, 245 (1968).
- (33) Colby, L.J. : J. Less Common Metals **10**, 425 (1966).
- (34) Bradley, M.J., Goode, J.H., Ferris, L.M., et al. : Inorg. Chem., **3**, 454 (1964).
- (35) Findlay, J.R., Moreton-Smith, M.J., Moss, R. : J. Inorg. Nucle. Chem., **31**, 3437 (1969).
- (36) Hochanadel, C.J. : P/739 7, 521 (1955).
- (37) "Nuclear Chemical Engineering", McGraw-Hill pp.282 (1957).
- (38) Catz, J.J., Seaborg, G.T. : "The Chemistry of the Actinide Elements" (in Japanese) pp.55 (1957).

- (39) Hori, Y., Mukaibo, T. : Bulletin of Chemical Soc. of Japan **41**, 1983 (1968).
- (40) 西山厚他 : 第二回核燃料分科会予稿集 pp. 19 (1962).
- (41) Bradley, M. J., Ferris, L. M. : Inorg. Chem., **3**, 730 (1964).
- (42) *ibid.*, **3**, 189 (1964).
- (43) Schmahl, von N. G. : Ztschr. Elektrochem., Bd 40, Nr. 2, 68 (1934).
- (44) Schmidt, von J. : Ztschr. Elektrochem., Bd 40, Nr. 4, 170 (1934).
- (45) KOCOLAHOBA, T. Я. et al. : ЖУРНАЛ ХИМИЧЕСКОЙ ФИЗИКИ **10**, 2453 (1965).
- (46) МАКАРЕНКО, Г. Н. et al. : ХИМИЧЕСКАЯ ФИЗИКА **1**, 1787 (1965).
- (47) Deminies, M. A. : Bull. Soc. Chim. France, **15**, 372 (1914).
- (48) Anderson, J. S., Clark, N. J., et al. : J. Inorg. Nucl. Chem., **30**, 105 (1968).

